

PEMETAAN KERENTANAN GERAKAN TANAH DAN PEMODELAN DEBRIS FLOW



SUMARYONO

**PUSAT VULKANOLOGI DAN MITIGASI BENCANA GEOLOGI
B A D A N G E O L O G I**

Kementerian Energi dan Sumber Daya Mineral



www.geologi.esdm.go.id



@kabargeologi



Badan Geologi



Badan Geologi

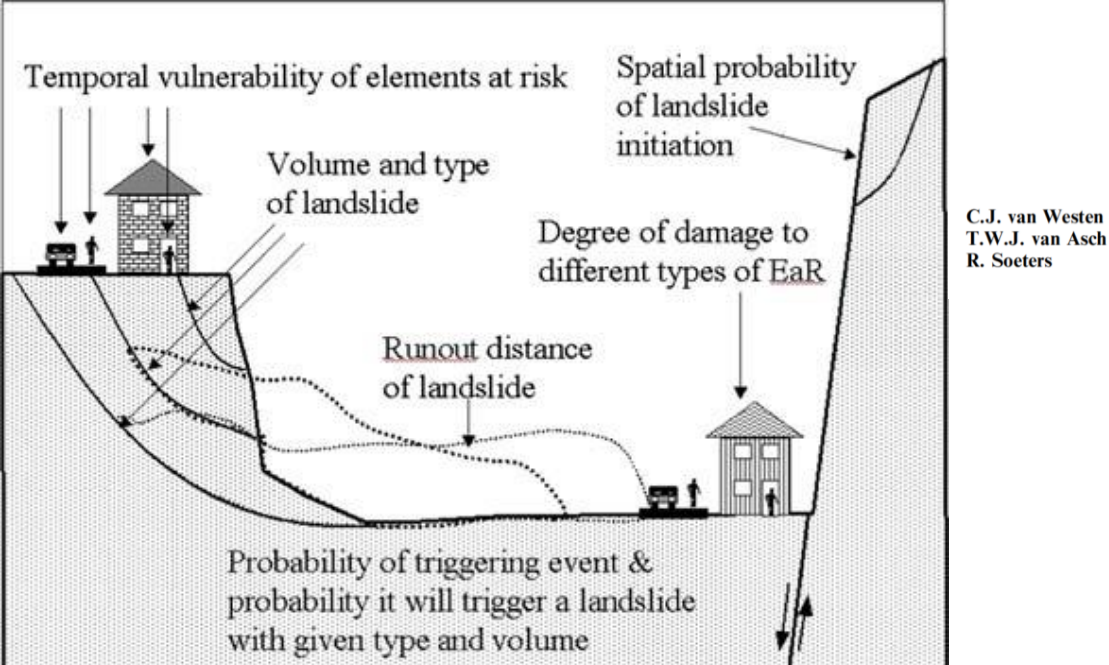


@kabargeologi

POKOK BAHASAN

1. Latar Belakang
2. Prinsip Dasar Pemetaan Kerentanan Gerakan Tanah
3. Metode Pemetaan Gerakan Tanah
4. Workflow Analisa Kerentanan Gerakan Tanah Statistik
5. Contoh Peta Gerakan Tanah Methoda Statistik dan Deterministik
6. Contoh Pemodelan Debris Flow
7. Kesimpulan

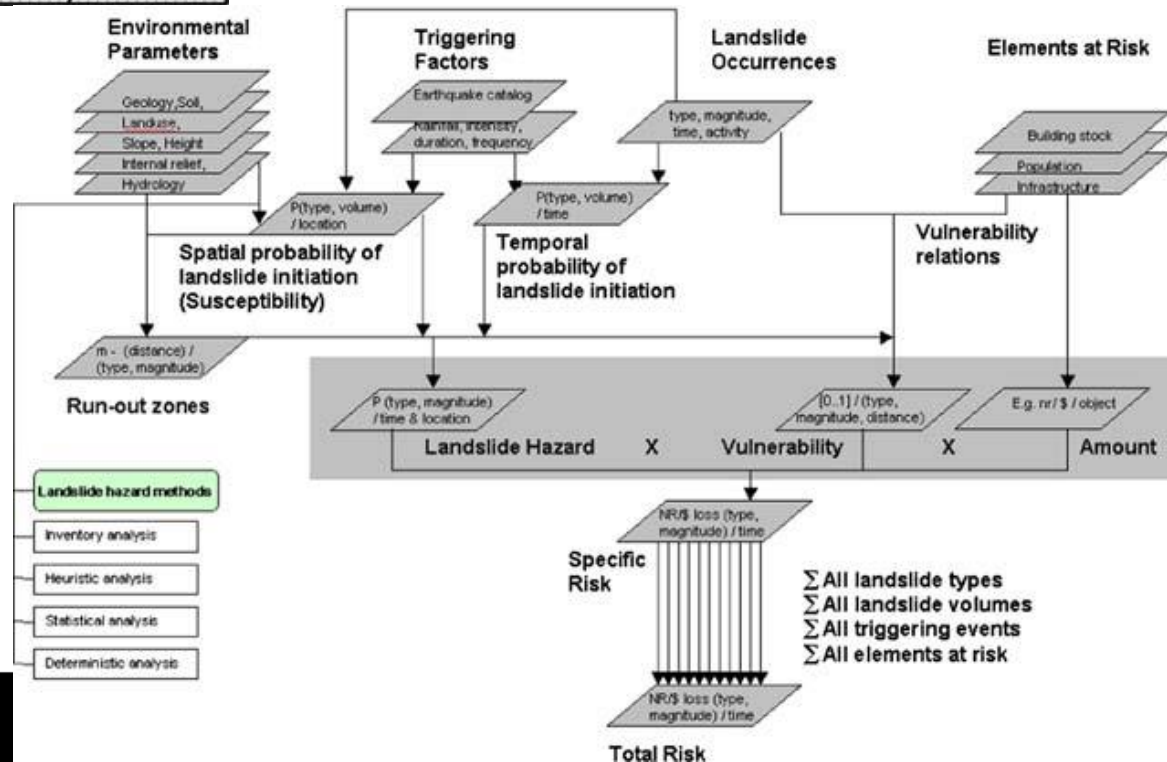




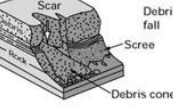
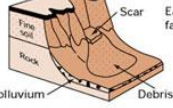
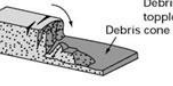
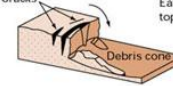
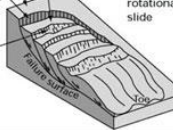
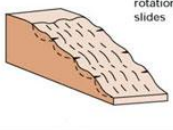
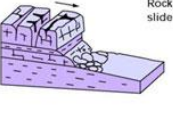
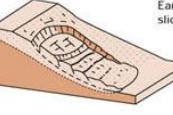
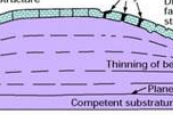
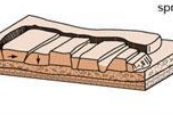
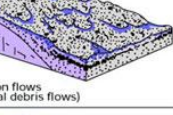
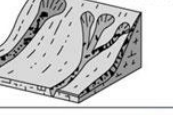
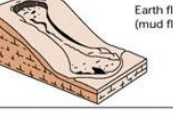
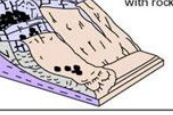
Landslide hazard and risk zonation—why is it still so difficult?

Difficulties related to landslide inventory mapping

Landslides are generally isolated processes which individually may not be very large in size but which can occur with a high frequency in a region. Unlike hazardous events that affect large areas, such as earthquakes or flooding, the generation of landslide inventory maps and databases is a tedious procedure. Landslides have to be mapped and described one by one, and each one might have different characteristics. In most countries there is no single agency that has the responsibility for maintaining a landslide database. At

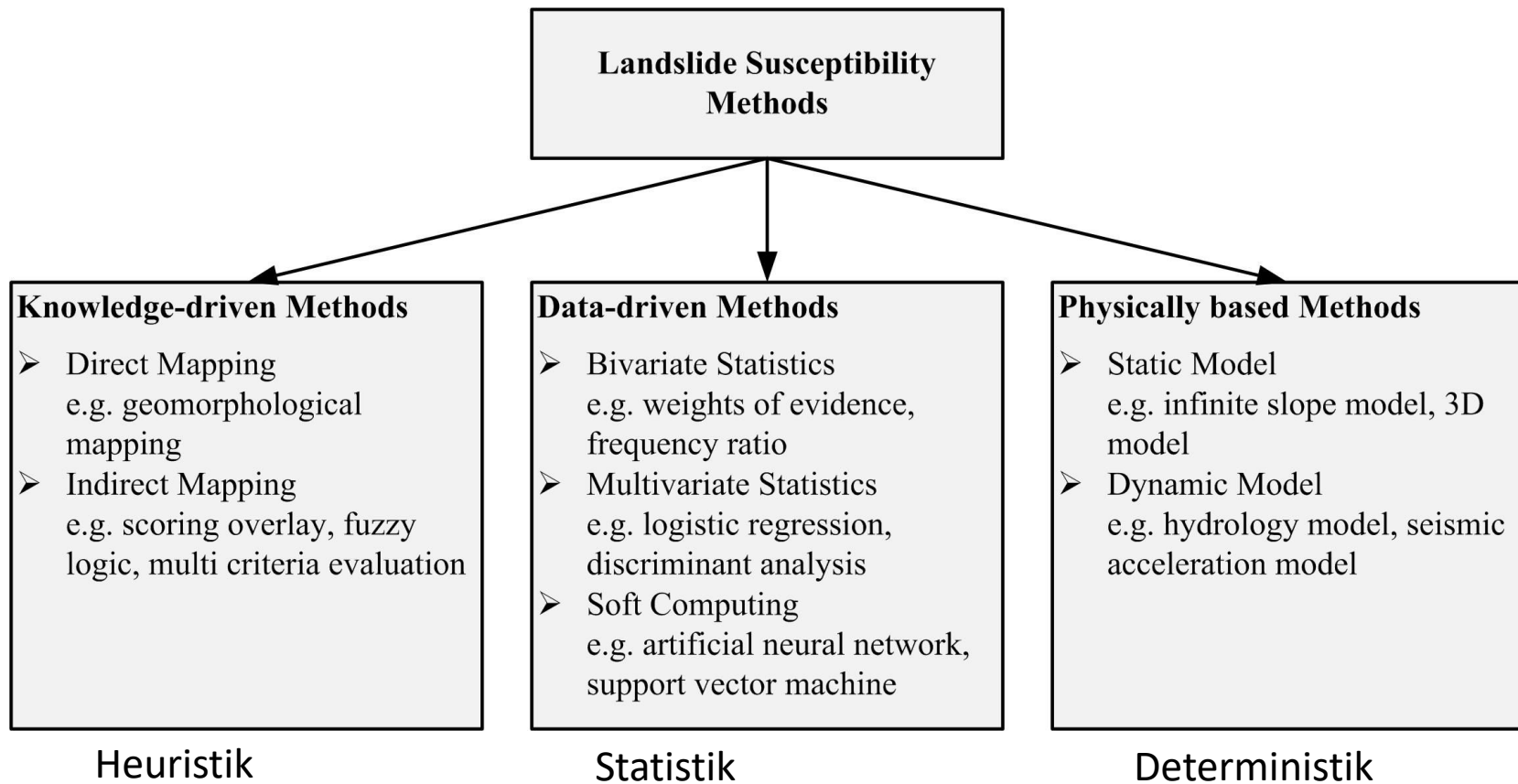


Klasifikasi Gerakan tanah (modified after Varnes, 1996)

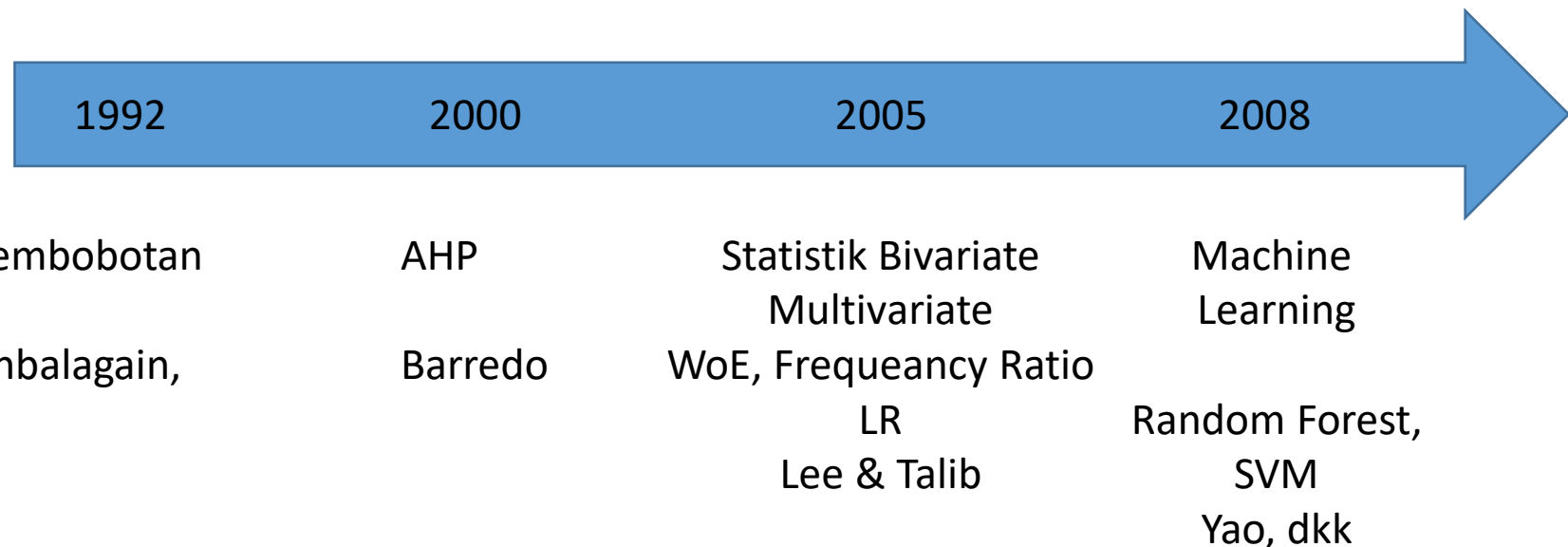
| Material | ROCK | DEBRIS | EARTH |
|---------------|---|--|--|
| Movement type | | | |
| FALLS |  <p>Rock fall</p> |  <p>Scar Debris fall Scree</p> |  <p>Scar Earth fall Colluvium Debris cone</p> |
| TOPPLES |  <p>Rock topple</p> |  <p>Debris topple Debris cone</p> |  <p>Cracks Earth topple Debris cone</p> |
| SLIDES |  <p>Single rotational slide (slump) Failure surface</p> |  <p>Crown Scarp Head Scarp Minor Scarp Failure surface</p> |  <p>Multiple rotational slide Failure surface</p> |
| |  <p>Rock slide</p> |  <p>Debris slide</p> |  <p>Earth slide</p> |
| SPREADS |  <p>Normal sub-horizontal structure Cap rock Clay shale Thinning of beds Plane of decollement Competent substratum</p> | |  <p>Earth spread</p> |
| FLWS |  <p>Solifluction flows (Periglacial debris flows)</p> |  <p>Debris flow</p> |  <p>Earth flow (mud flow)</p> |
| COMPLEX |  <p>e.g. Slump-earthflow with rockfall debris</p> |  <p>e.g. composite, non-circular part rotational/part translational slide grading to earthflow at toe</p> | |



Metode Pemetaan Longsor



Perkembangan Methode Pemetaan Gerakan Tanah Skala Menengah



Gerakan Tanah/Tanah longsor

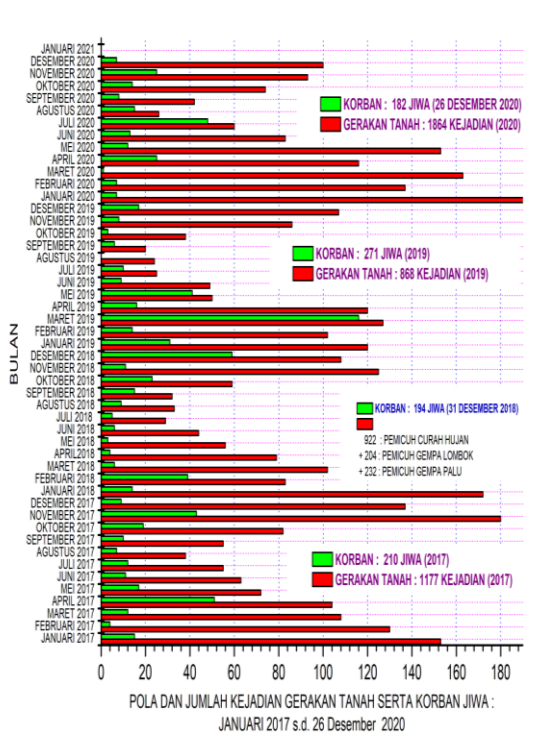
Didefinisikan secara sederhana sebagai pergerakan masa batuan, *debris* atau tanah menuju bagian bawah lereng (Cruden, 1991 dalam Cornforth, 2004).

Gerakan Tanah adalah perpindahan bahan pembentuk lereng (Tanah, Batuan, bahan timbunan atau campuran diantaranya) bergerak ke bawah dan keluar lereng (Cruden and Varnes 1996)



KARAKTERISTIK BENCANA GERAKAN TANAH

Ancaman Gerakan Tanah



TREND KEJADIAN GERAKAN TANAH

Kejadian Gerakan Tanah semakin meningkat pada Zona Kerentanan Gerakan Tanah Menengah - Tinggi

FAKTOR PENGONTROL

Geologi (batuan/tanah, Struktur Geologi), morfologi/kelerengan, hidrologi, Penggunaan lahan, manusia (antropogenik)

FAKTOR PEMICU

Curah hujan, Gempabumi, Aktivitas Manusia

KARAKTERISTIK

- a. Sangat lokal
- b. Tiap jenis gerakan tanah penanggulangannya berbeda
- c. Bisa terjadi dimana saja
- d. Menimbulkan kerugian dan korban
- e. Kemungkinan relokasi sebagai alternatif terakhir

Miss Managemen Penggunaan Lahan

Pentingnya Kolaborasi dalam penanganan bencana dan identifikasi bahaya



2. PRINSIP DASAR PEMETAAN KERENTANAN GERAKAN TANAH

(Varnes, 1984)

- Masa lalu dan sekarang adalah kunci masa depan. Dimasa mendatang gerakan tanah akan terjadi pada kondisi geologi, geomorfologi dan kondisi hidrologi yang sama dengan kejadian gerakan tanah pada masa sekarang dan masa lalu.**
- Faktor pengontrol dan pemicu dapat di identifikasi; seperti kondisi topografi, kondisi geologi, efek muka air tanah, mekanisme gerakan tanah dan faktor pemicunya .**
- Derajat bencana/ kerentanan dapat di estimasi berdasarkan faktor pengontrol/pemicu gerakan tanah, dan dicerminkan dalam sebuah peta baik secara qualitatif maupun quantitatif**



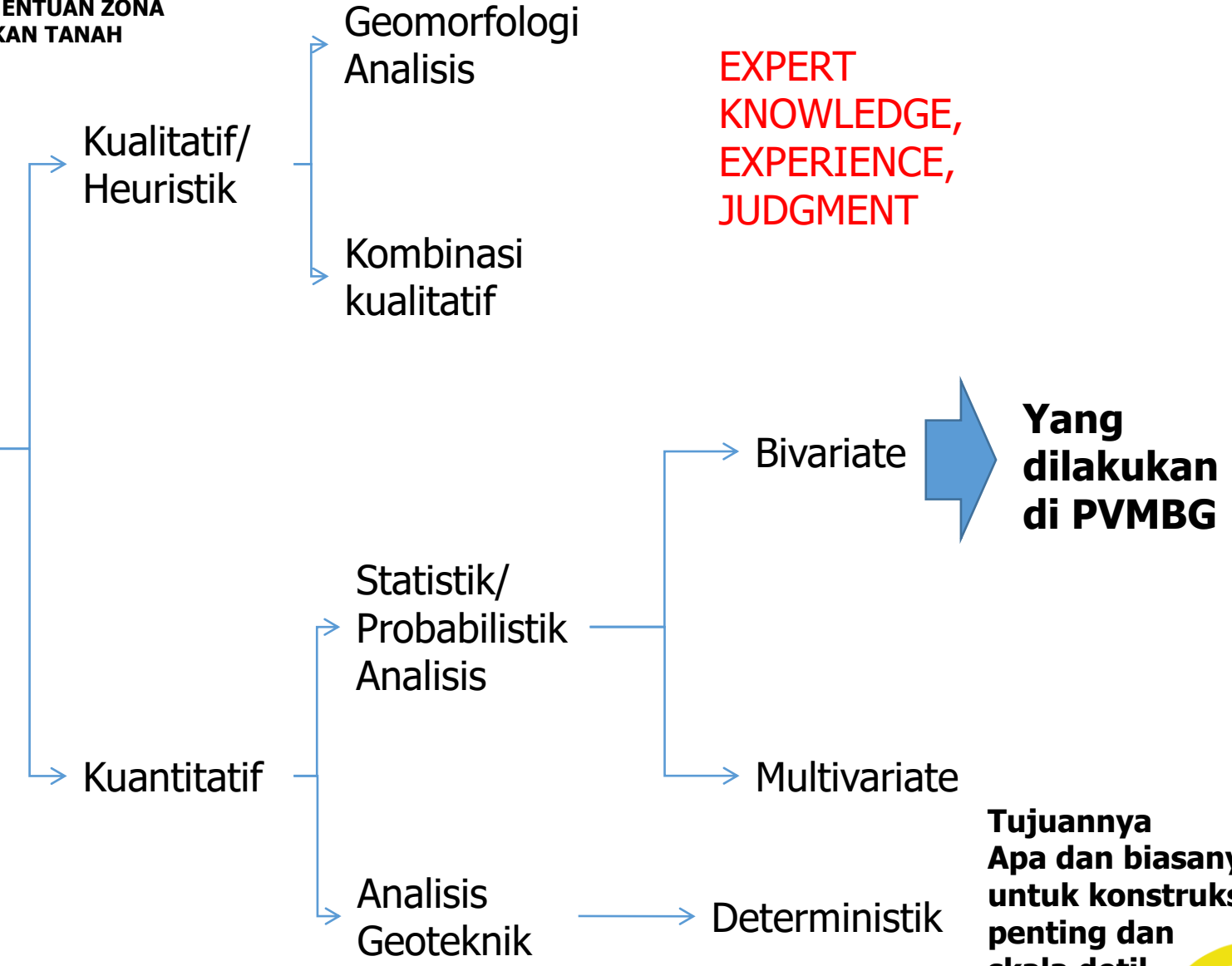
3. METODE PEMETAAN

Sumber: Van Western, 1997; Glade and Croizer, 2005 dan Cascini, 2008

SNI 8291 2016

"PENYUSUNAN DAN PENENTUAN ZONA
KERENTANAN GERAKAN TANAH

Metode
Pemetaan
Kerentanan
Gerakan
Tanah



"PENYUSUNAN DAN PENENTUAN ZONA KERENTANAN GERAKAN TANAH**Tabel 2 - Kebutuhan data tiap metode penyusunan dan penentuan zona kerentanan gerakan tanah**

| Data | Parameter | Metode | | |
|--|--|-----------|-----------|---------------|
| | | Heuristik | Statistik | Deterministik |
| Digital Elevation Model | Kemiringan lereng | wajib | wajib | wajib |
| Geologi | Jenis batuan | wajib | wajib | wajib |
| | Ketebalan tanah pelapukan | * | * | wajib |
| | Struktur geologi (kekak, sesar) | * | wajib | wajib |
| | Sifat geoteknik (Ukuran butir, kohesi, sudut friksi, densitas) | * | pilihan | wajib |
| Hidrologi | Kedalaman muka air tanah | * | * | Wajib |
| Tata guna laha | Peta tata guna lahan | wajib | wajib | * |
| Distribusi gerakan tanah | Lokasi dan/atau luasan gerakan tanah | * | wajib | * |
| | Tipe gerakan tanah | * | * | wajib |
| Kegempaan | Nilai Peak Ground Acceleration(PGA) | * | pilihan | pilihan |
| Curah hujan | Intensitas Curah Hujan | * | pilihan | Pilihan |
| CATATAN 1 Masing-masing metode harus dilakukan verifikasi/validasi baik dengan menggunakan data kejadian gerakan tanah ataupun dengan pengecekan kondisi di lapangan. | | | | |
| CATATAN 2 (*) tidak diperlukan. | | | | |

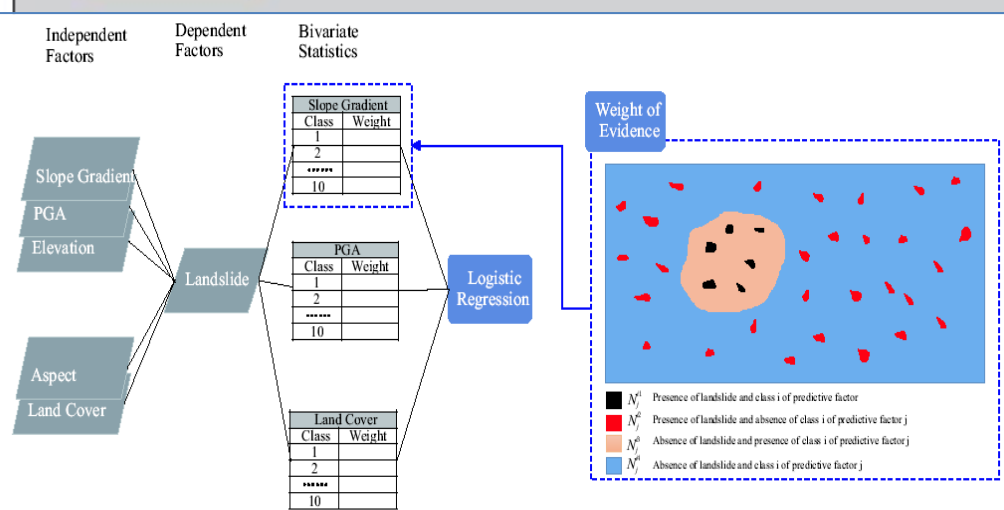
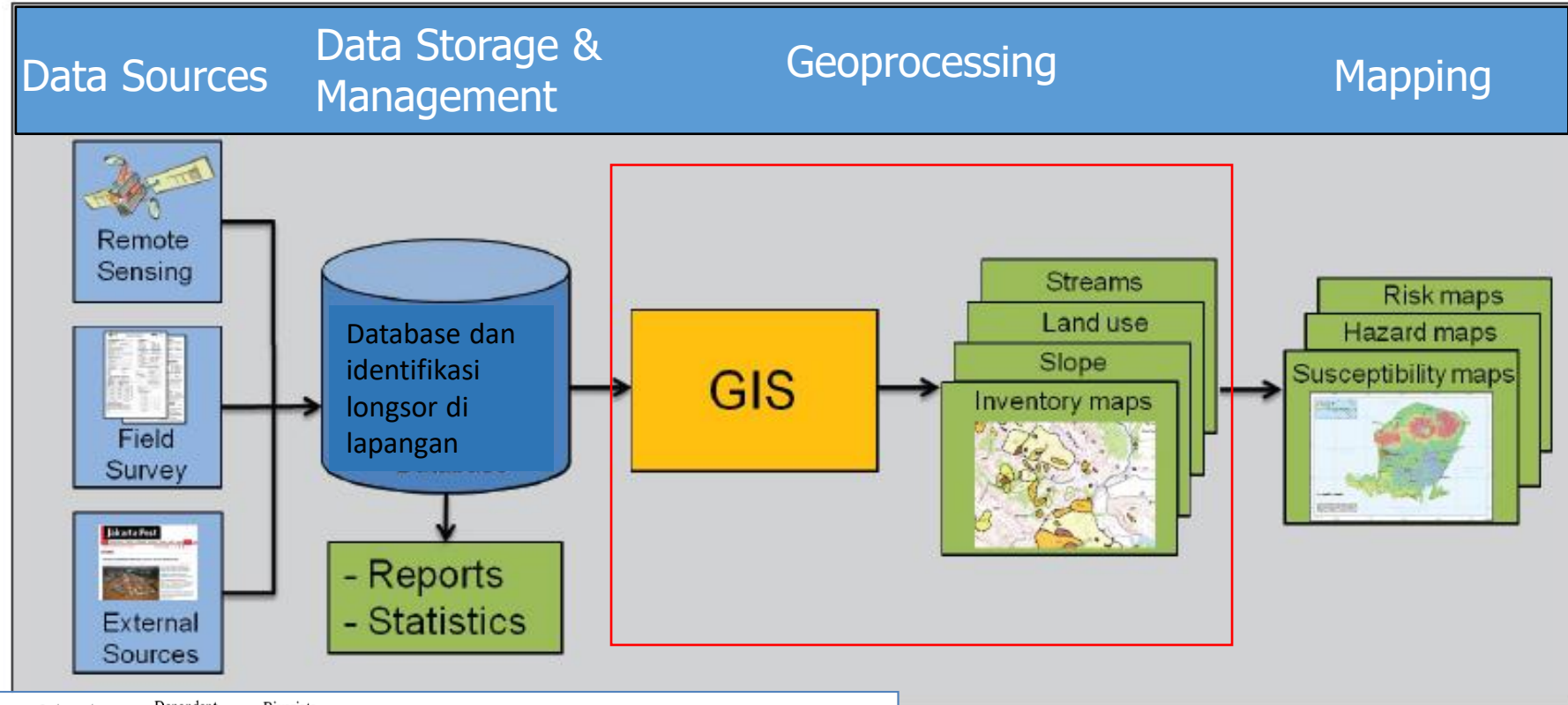
Sumber: Van Western, 1997; Glade and Croizer, 2005 dan Cascini, 2008

| Metoda | Prosedure | Input | | |
|---------------|---------------|--|---|-----------------------|
| | | Geomorfologi, Topografi, Geologi Foto Udara, Data Kejadian | + Data satelit, Faktor Pemicu, geologi, hidrologi, dll | + parameter geoteknik |
| Basic | Heuristik | | | |
| Intermediate | Statistik | | | |
| Sophisticated | Deterministik | | | |

| Deskripsi skala | Skala | Metode Zonasi | | | Tujuan |
|-----------------|-----------------------------|------------------|----------------------------|---------------------------------|--|
| | | Heuristik/ Basic | Statistik/ Intermediate | Deterministik/ Sophisticated | |
| Kecil | < 1 : 100.000 | * | | | Zonasi Regional Informasi |
| Medium | 1 : 100.000 – 1 : 25.000 | * | (*) | | Zonasi Regional |
| Besar | 1 : 25.000 – 1 : 5.000 | * | * | * | Zonasi lokal |
| Detil | > 1 : 5.000 | X | (*) | * | Zonasi spesifik Faktor Keamanan Lreng |



4. WORKFLOW ANALISIS GERAKAN TANAH METODE STATISTIK



Ilustrasi perhitungan kelas pembobotan menggunakan metode WoE dan faktor pembobotan menggunakan metode LR (Zhou, dkk., 2016)



Methoda Pemetaan Gerakan Tanah Statistik WoE

Metode statistik memiliki penilian kerawanan gerakan tanah yang menjadi 2 faktor yaitu multivariat dan bivariat. Multivariat berasumsikan bahwa faktor yang mempengaruhi gerakan tanah saling terkait antara satu sama lain, sedangkan Bivariat berasumsikan bahwa faktor yang mempengaruhi gerakan tanah tidak terkait (Suzen dan Doyuran, 2004). Metode WoE menggunakan pembobotan data dengan penggabungan baik jenis, kualitas maupun perhitungan tiap data (Chung dan Fabbri, 2003). Formulasi WoE adalah sebagai berikut (Bonham-Carter 1994):

$$W^+ = \ln \left[\frac{P\{N_j|S\}}{P\{N_j|\bar{S}\}} \right] = \ln \left(\frac{\frac{P(N_j \cap S)}{P(S)}}{\frac{P(N_j \cap \bar{S})}{P(\bar{S})}} \right) = \ln \left(\frac{\frac{N_{pix} \text{ landslide in class}}{N_{pix} \text{ total landslide area}}}{\frac{N_{pix} \text{ stable area in class}}{N_{pix} \text{ total stable area}}} \right) \dots (1)$$

$$W^- = \ln \left[\frac{P\{\bar{N}_j|S\}}{P\{\bar{N}_j|\bar{S}\}} \right] = \ln \left(\frac{\frac{P(\bar{N}_j \cap S)}{P(S)}}{\frac{P(\bar{N}_j \cap \bar{S})}{P(\bar{S})}} \right) = \ln \left(\frac{\frac{N_{pix} \text{ landslide outside class}}{N_{pix} \text{ total landslide area}}}{\frac{N_{pix} \text{ stable area outside class}}{N_{pix} \text{ total stable area}}} \right) \dots (2)$$

W+ : bobot kebolehjadian gerakan tanah disuatu kelas geofaktor (bobot positif).

W-: bobot ketidakboleh-jadian gerakan tanah disuatu kelas geofaktor (bobot negatif)

N_j : jumlah piksel pada kelas parameter

S : jumlah total piksel yang mengandung gerakan tanah pada keseluhan area.

P : nilai probabilitas.



METODE: BIVARIATE STATISTICAL (WEIGHT OF EVIDENCES)

- Berdasarkan pada teori Bayes (scientifically approved)
- Konsepnya adalah kejadian masa lalu digunakan untuk memprediksi kejadian yang akan datang.
- Faktor Pengontrol : Tata guna lahan, lithologi, kelerengan, curvature, kelurusuan
- Membutuhkan data historis kejadian gerakan tanah-

70% data kejadian gerakan tanah untuk Success rate (training data)

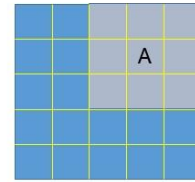
30% data kejadian gerakan tanah untuk Prediction rate (test data)

WEIGHT OF EVIDENCES (WOE)

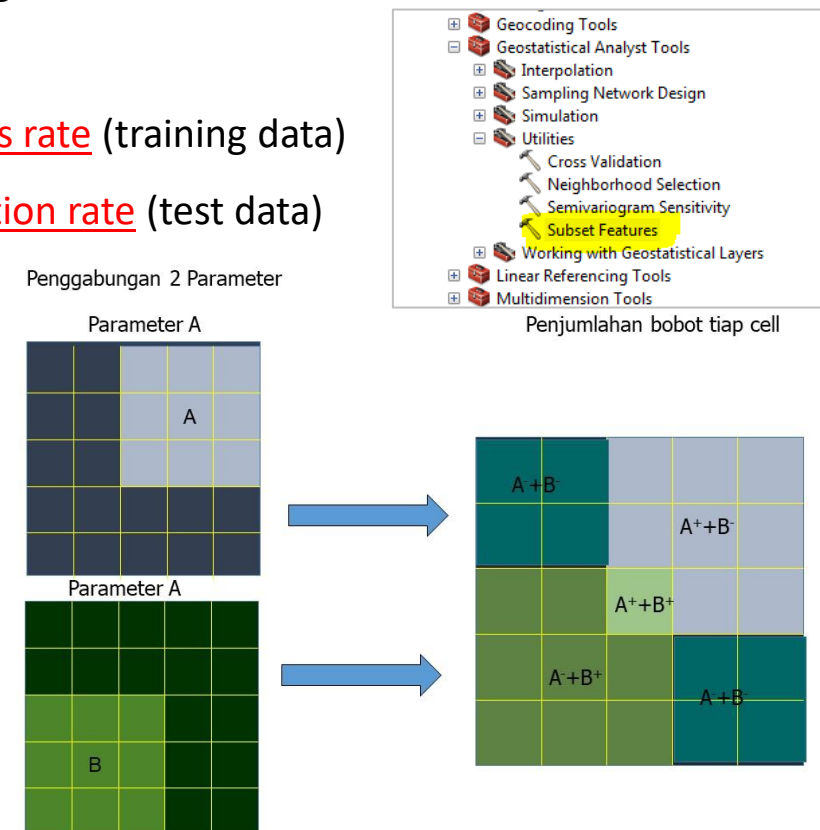
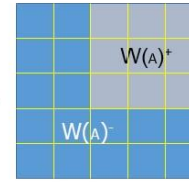
$$W^+ = \ln \left(\frac{\frac{N_{pix} \text{ landslide in class}}{N_{pix} \text{ total landslide area}}}{\frac{N_{pix} \text{ stable area in class}}{N_{pix} \text{ total stable area}}} \right), \quad W^- = \ln \left(\frac{\frac{N_{pix} \text{ landslide outside class}}{N_{pix} \text{ total landslide area}}}{\frac{N_{pix} \text{ stable area outside class}}{N_{pix} \text{ total stable area}}} \right).$$

- W^+ merepresentasikan bobot keboleh-jadian gerakan tanah di class N_j
➢ W^- Merepresentasikan bobot ketidakboleh-jadian gerakan tanah di class N_j

A adalah Pixel Landslide sedangkan warna adalah class



Maka,

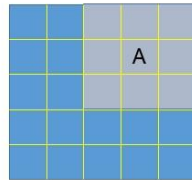


WEIGHT OF EVIDENCES (WOE)

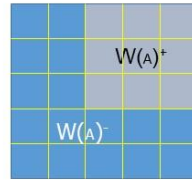
$$W^+ = \ln \left(\frac{\frac{N_{pix} \text{ landslide in class}}{N_{pix} \text{ total landslide area}}}{\frac{N_{pix} \text{ stable area in class}}{N_{pix} \text{ total stable area}}} \right), \quad W^- = \ln \left(\frac{\frac{N_{pix} \text{ landslide outside class}}{N_{pix} \text{ total landslide area}}}{\frac{N_{pix} \text{ stable area outside class}}{N_{pix} \text{ total stable area}}} \right).$$

- W^+ merepresentasikan bobot keboleh-jadian gerakan tanah di class N_j
- W^- Merepresentasikan bobot ketidakboleh-jadian gerakan tanah di class N_j

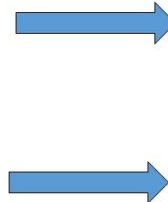
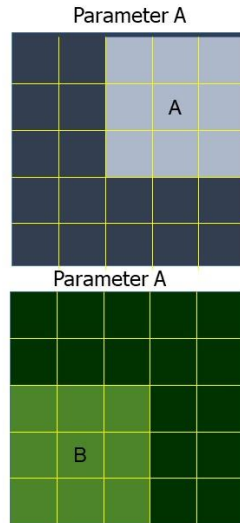
A adalah Pixel
Landslide
sedangkan warna
adalah class



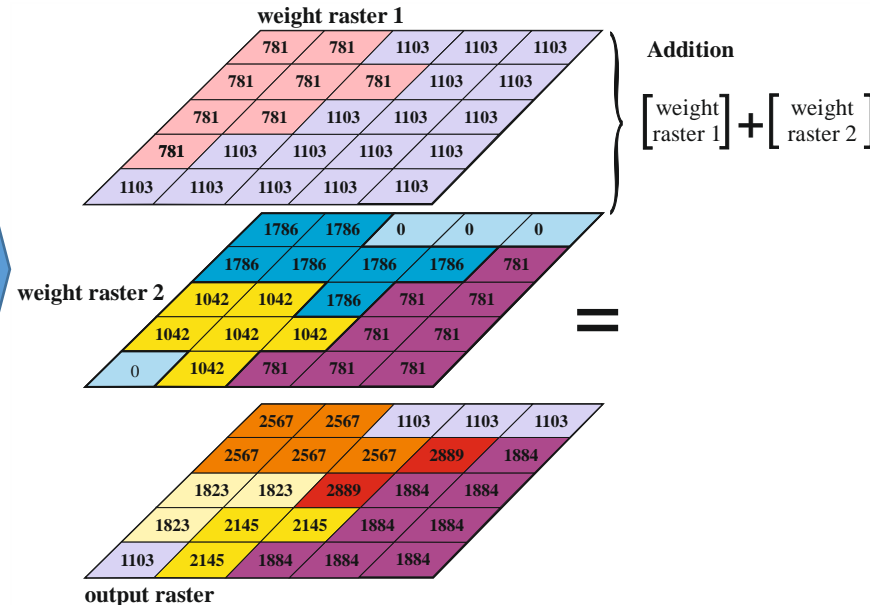
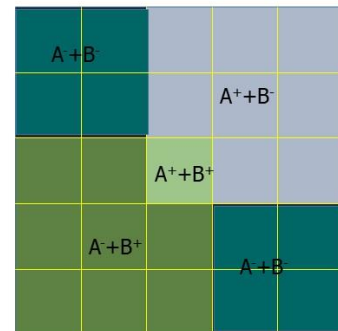
Maka,



Penggabungan 2 Parameter



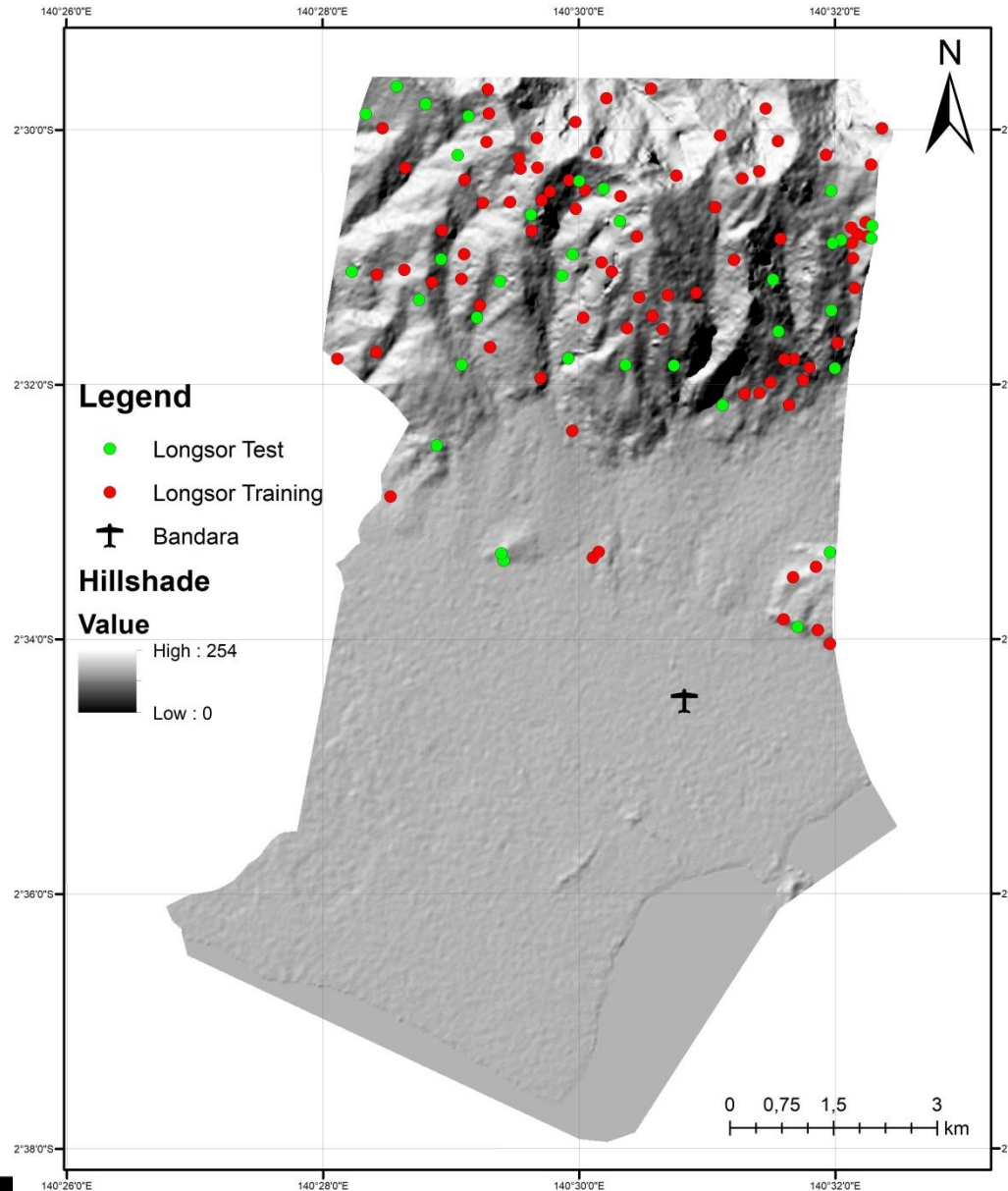
Penjumlahan bobot tiap cell



5. Contoh Peta Kerentanan Gerakan Tanah Methoda Statistik WoE

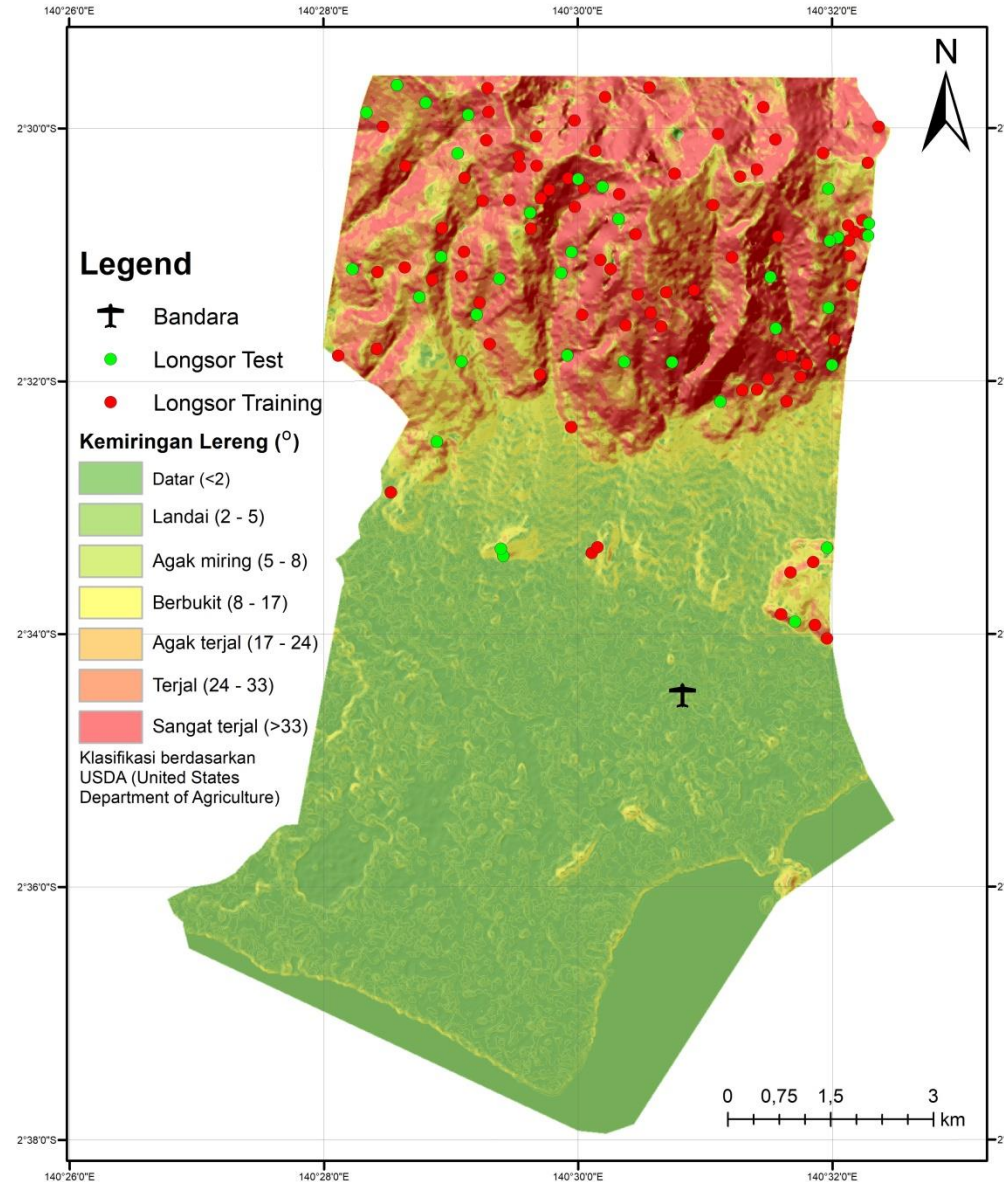
INVENTARISASI KEJADIAN GERAKAN TANAH

- Kejadian gerakan tanah merupakan data utama yang diperlukan dalam analisis peta kerentanan gerakan tanah.
- Terdapat **116 kejadian gerakan tanah**, 81 kejadian (70%) digunakan untuk penyusunan model dan sebanyak 35 kejadian (30%) untuk pengujian model.



1. Kemiringan Lereng

- Kemiringan lereng mengendalikan gaya geser yang bekerja di lereng bukit. Lereng yang datar memiliki frekuensi gerakan tanah yang rendah karena tegangan geser yang lebih kecil.
- Parameter kemiringan lereng merupakan turunan dari Digital Elevation Model (**DEM**) of TerraSAR X.
- Parameter kemiringan lereng diklasifikasikan menjadi 7 kelas.
- Berdasarkan hasil analisis gerakan tanah paling banyak terjadi pada kelas **kemiringan lereng sangat terjal**.



1



1



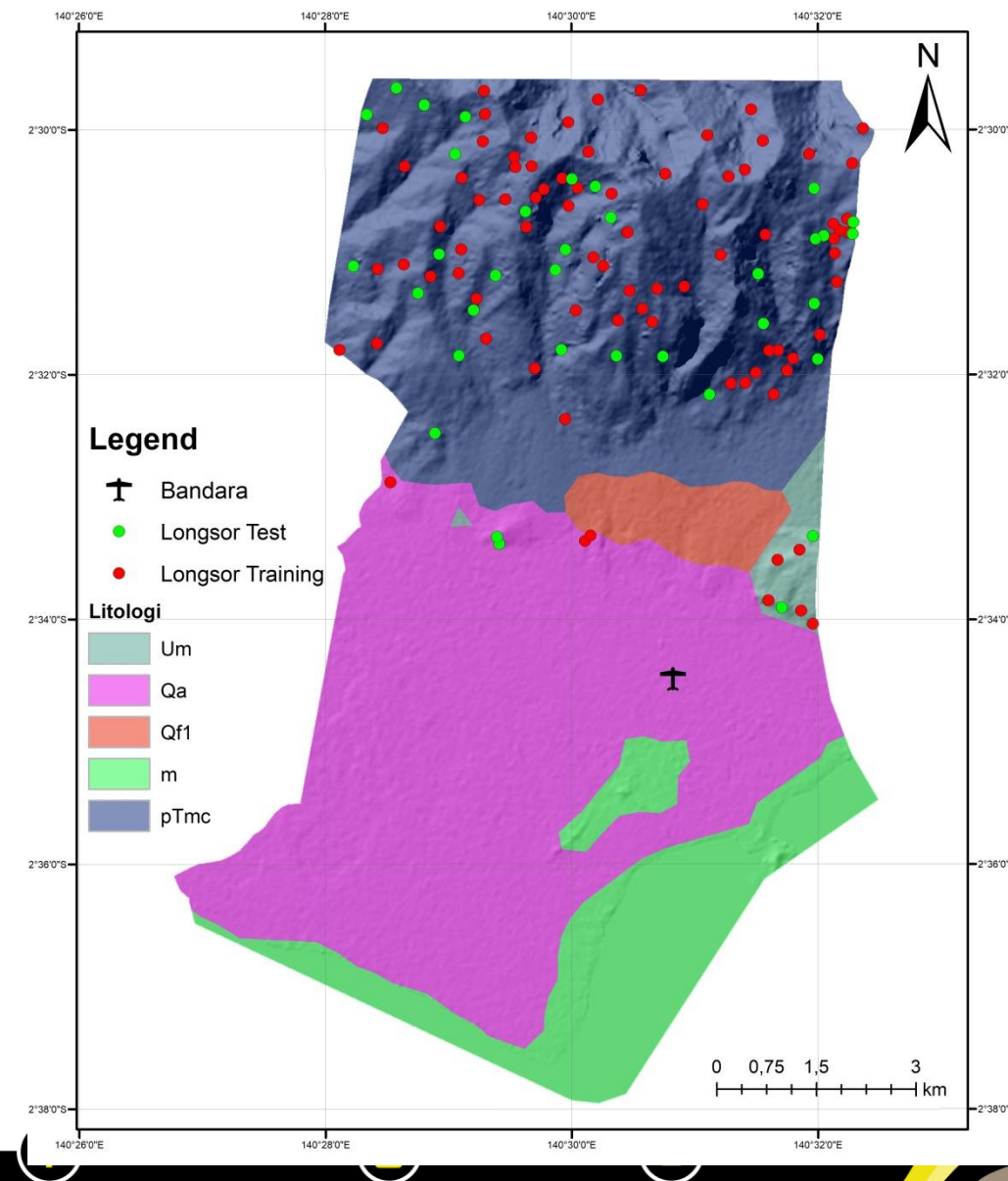
3. Litologi

- Litologi berperan penting dalam kejadian gerakan tanah, karena memiliki karakteristik yang berbeda, seperti kekompakan, komposisi, dan struktur, yang menghasilkan resistensi yang berbeda-beda terhadap gerakan tanah
- Litologi yang digunakan bersumber dari peta geologi skala 1:50.000 oleh Pusat Survei Geologi.
- Gerakan tanah paling banyak terjadi pada jenis batuan **Grup batuan metamorf Cyclops→pTmc)**

73

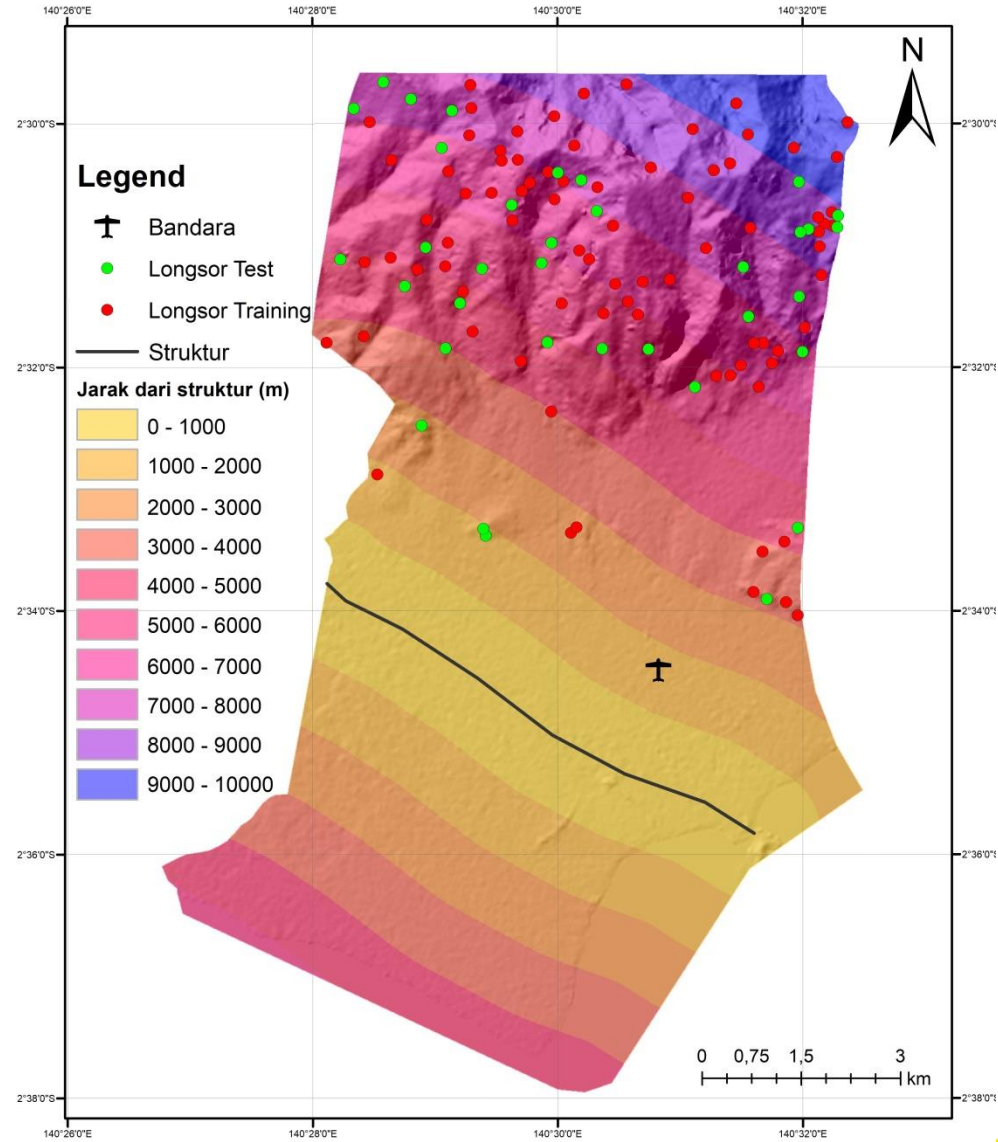
3

0



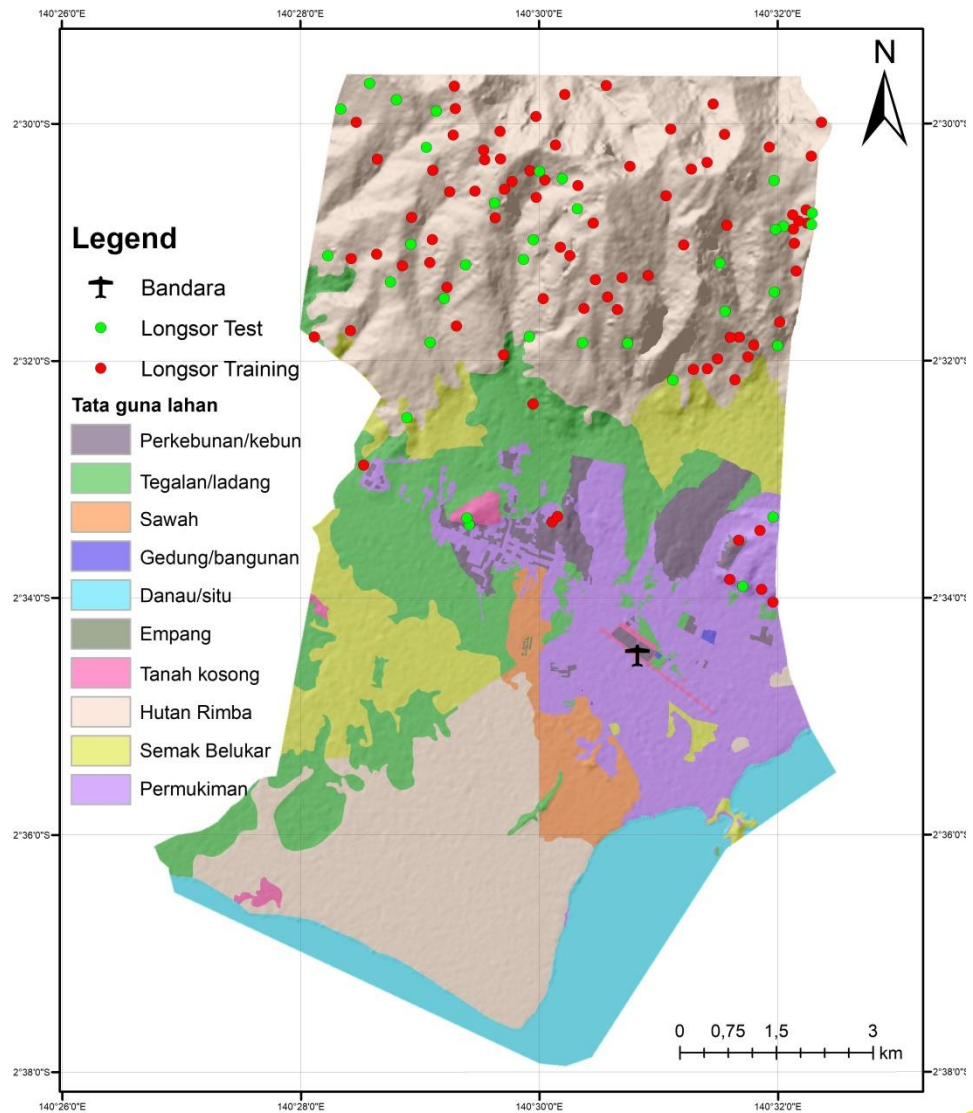
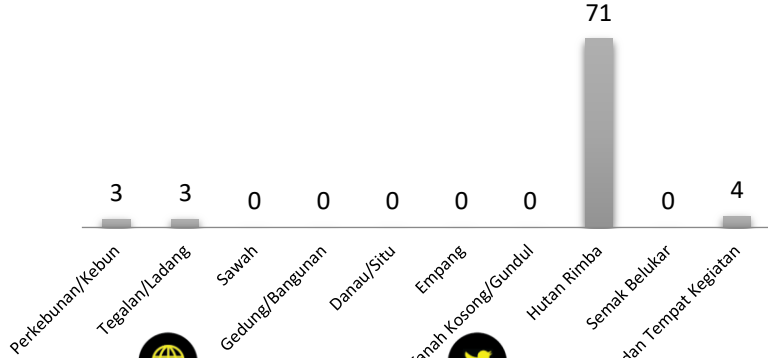
4. Jarak dari Struktur

- Kedekatan jarak dari struktur ikut berperan dalam mempengaruhi kestabilan lereng.
- Struktur yang digunakan bersumber dari **peta geologi** skala 1:50.000 oleh **Pusat Survei Geologi**.
- Gerakan tanah paling banyak terjadi pada jarak **7000 - 9000 m** dari struktur.



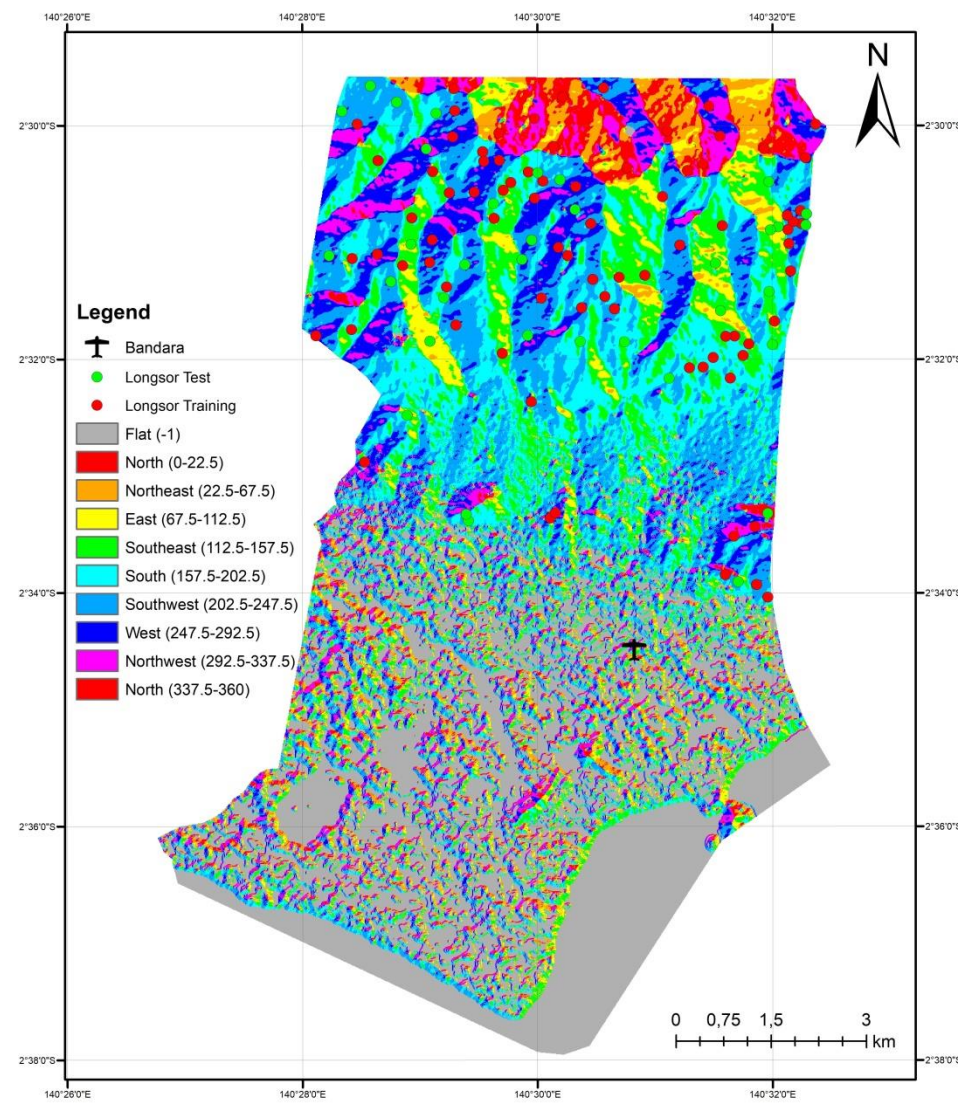
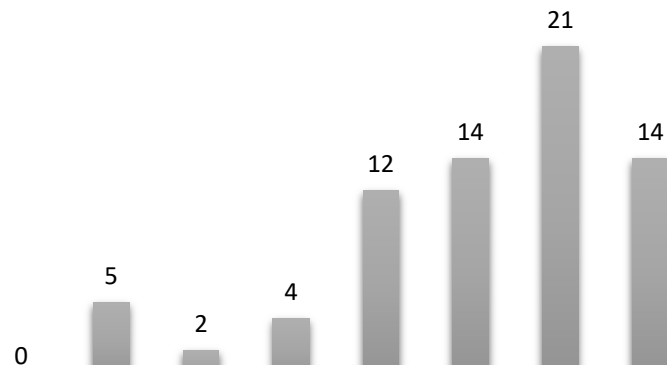
5. Tata Guna Lahan

- Variasi tutupan vegetasi permukaan di suatu daerah merupakan faktor dominan yang secara serius mempengaruhi gerakan tanah. Vegetasi meningkatkan kekuatan tanah, sementara permukaan tanah dengan kurangnya tutupan vegetasi lebih rentan terhadap gerakan tanah.
- Berdasarkan data yang diperoleh dari **Badan Informasi Geospasial (2020)**.
- Gerakan tanah paling banyak terjadi **Hutan rimba**.



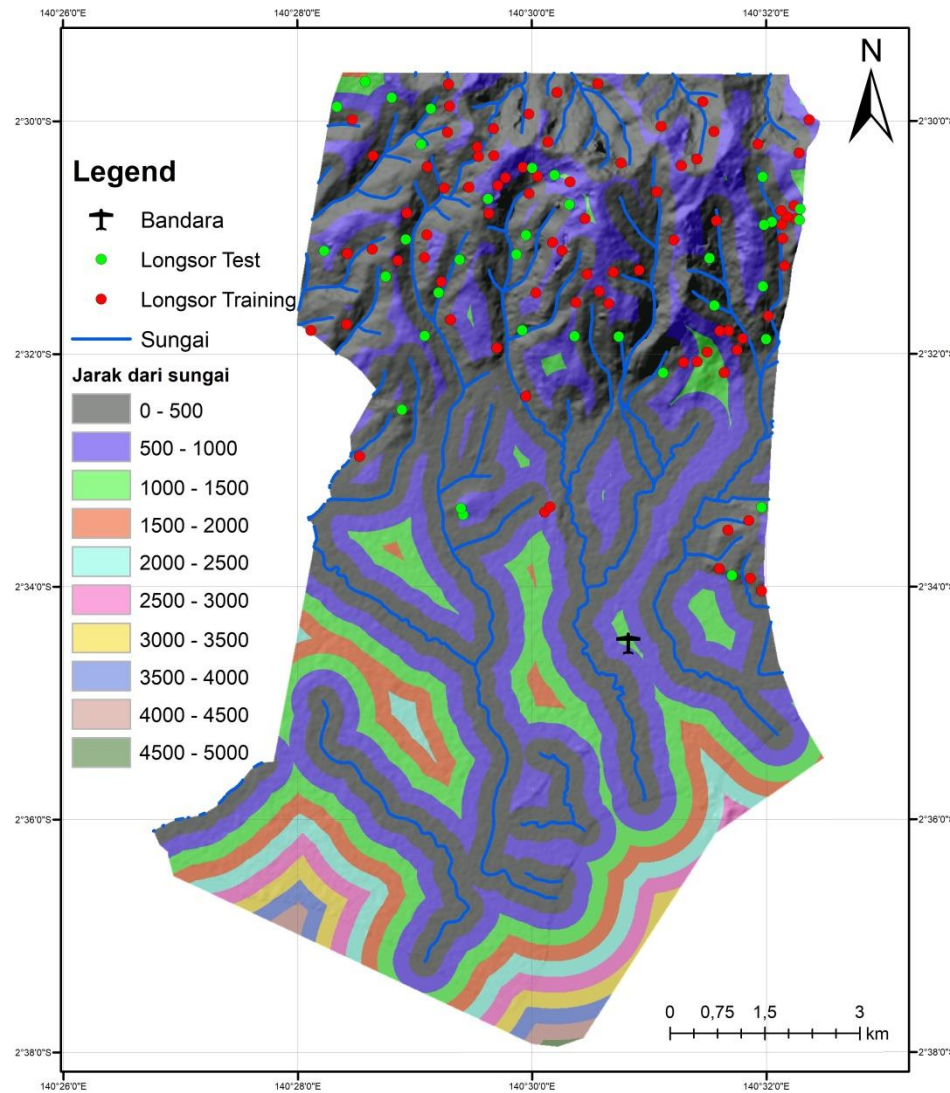
6. Arah Lereng

- Arah lereng dipengaruhi oleh **paparan sinar matahari dan angin kering yang mengontrol kelembaban tanah.**
- Kemiringan dan arah lereng dapat mempengaruhi pola vegetasi, hal ini dapat mempengaruhi kekuatan tanah dan membuatnya rentan terhadap gerakan tanah.
- Parameter arah lereng merupakan turunan dari Digital Elevation Model (**DEM**) of TerraSAR X .
- Gerakan tanah yang paling banyak terjadi terdapat pada **arah barat daya**.

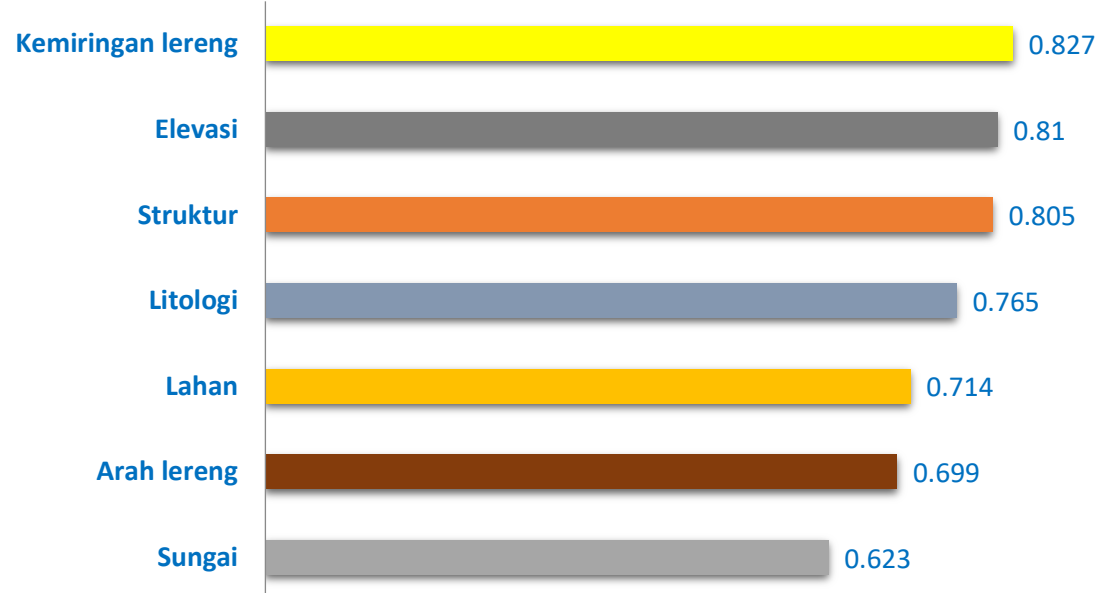


7. Jarak dari Sungai

- Kedekatan jarak dari sungai ikut berperan dalam mempengaruhi kestabilan lereng karena **adanya erosi lateral oleh air**.
- Berdasarkan data yang diperoleh dari **Badan Informasi Geospasial (2020)**.
- Jarak sungai dari lokasi gerakan tanah daerah penelitian diklasifikasikan menjadi 10 kelas dengan interval 500 meter.
- Gerakan tanah yang paling banyak terjadi terdapat pada **jarak 500 m dari sungai**.



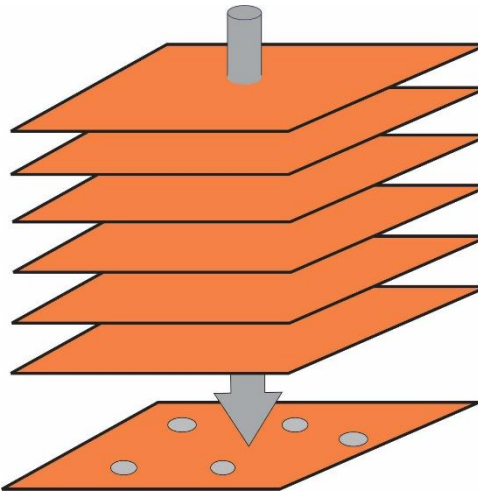
VALIDASI PARAMETER



| Nilai AUC | Keterangan |
|-----------|-------------------------|
| 0.9 | Model Sangat Baik |
| 0.8 – 0.9 | Model Baik |
| 0.7 – 0.8 | Model Sedang/Cukup Baik |
| < 0.6 | Model Jelek |

(Pourghasemi, dkk., 2013)

ZONA KERENTANAN GERAKAN TANAH

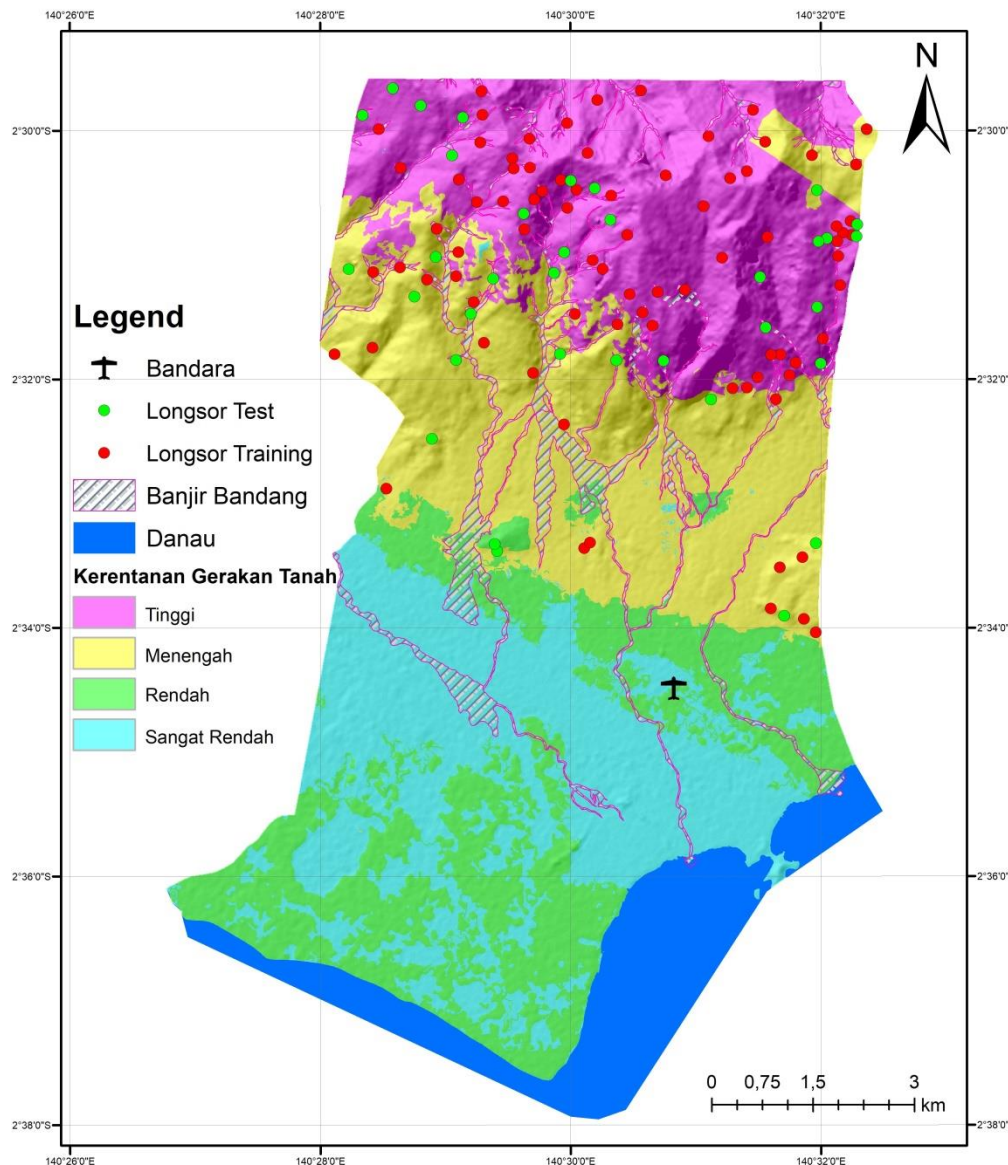


Kemiringan lereng
Elevasi
Jarak dari struktur
Litologi
Lahan

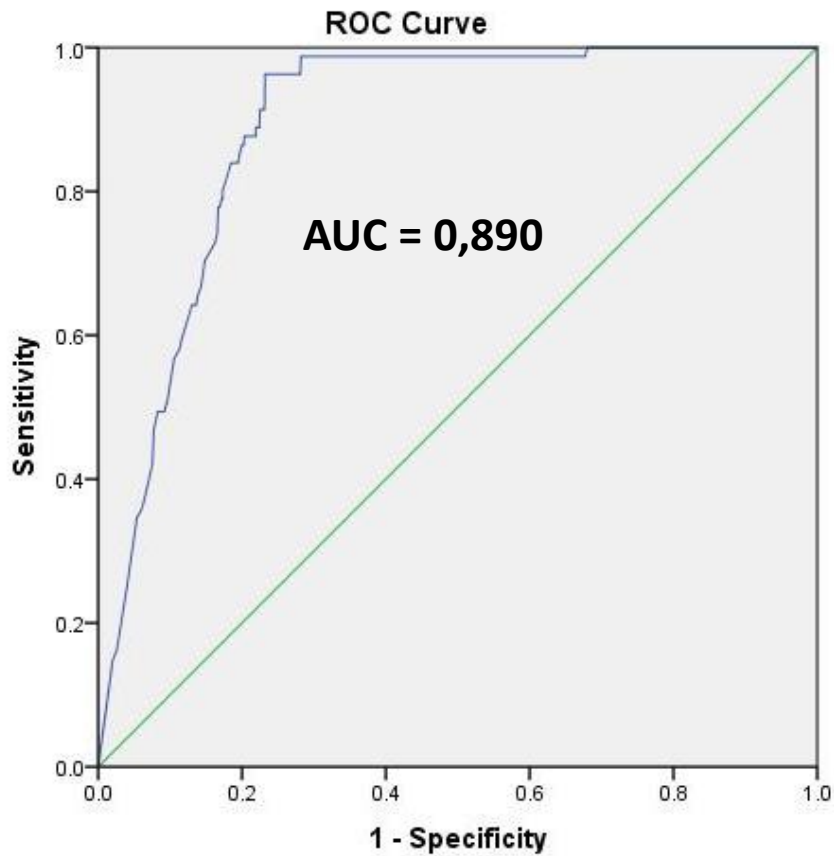
Parameter di jumlahkan untuk pembobotan

Zona Total Area (%)

| | |
|---------------|-------|
| Sangat rendah | 31,78 |
| Rendah | 19,07 |
| Menengah | 26,31 |
| Tinggi | 22,82 |

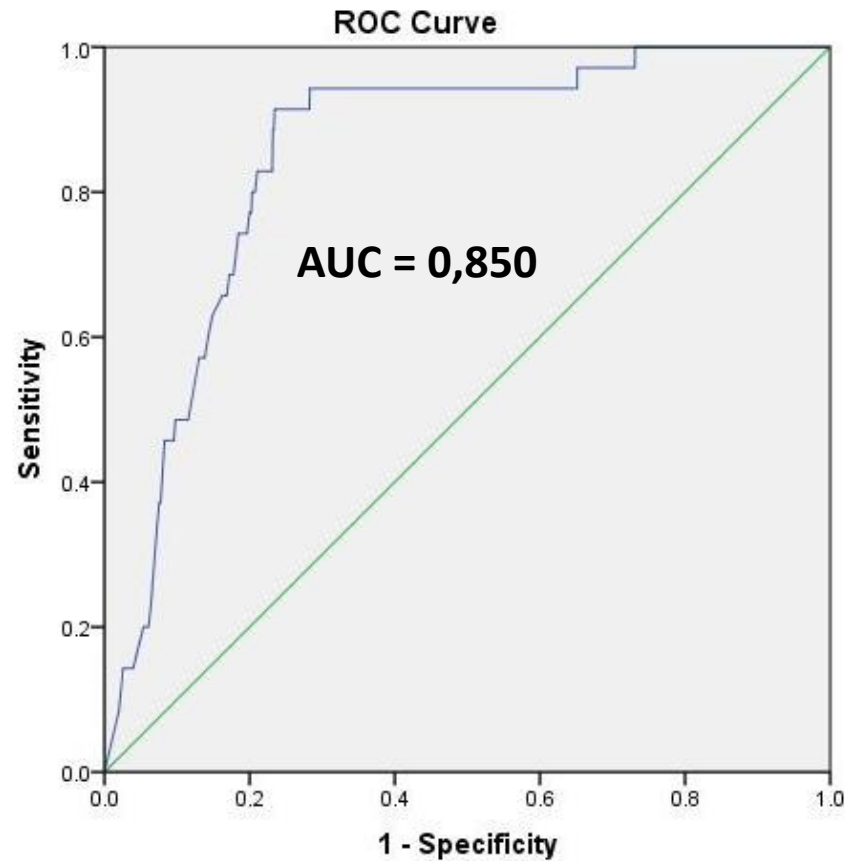


VALIDASI PETA ZONA KERENTANAN GERAKAN TANAH

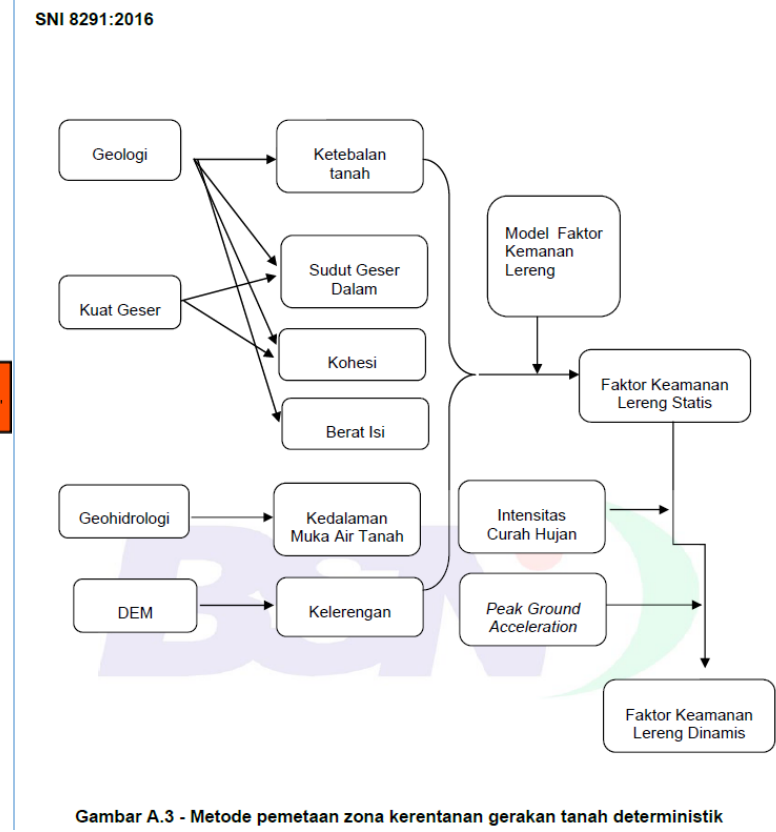
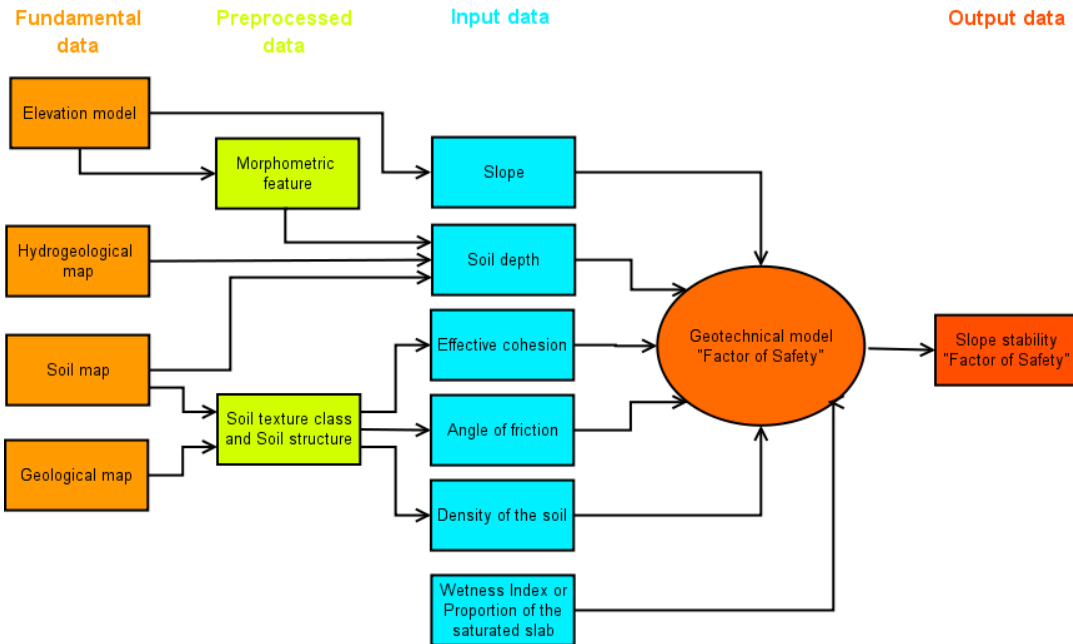


Prediction Rate (validasi menggunakan test data set
35 kejadian gerakan tanah)

Success Rate (validasi menggunakan training data
set 81 kejadian gerakan tanah)



METHODE DETERMINISTIK



PEMETAAN GERAKAN TANAH/LONGSOR → PRINSIP FAKTOR KEAMANAN LERENG



Batuhan induk →

$$\text{Faktor aman} = \frac{\text{gaya penahan longsor}}{\text{gaya pendorong longsor}}$$

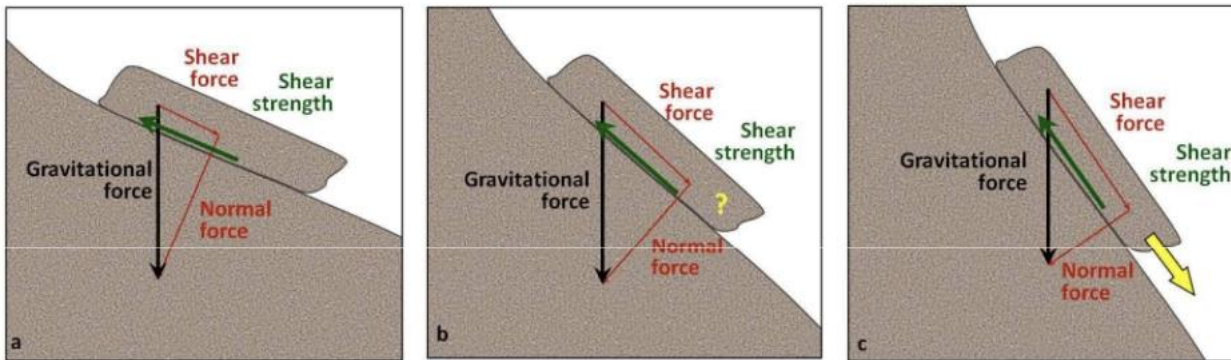
$$FS = \frac{\tau_f}{\tau_d}$$

$\tau_f = \text{Tahanan geser maksimum}$
 $\tau_d = \text{Tegangan geser yang terjadi akibat berat tanah}$

gaya pendorong longsor > gaya penahan longsor = lereng tidak stabil

$FS < 1 \rightarrow$ tidak stabil , $FS = 1 \rightarrow$ Kritis, $FS > 1 \rightarrow$ Stabil

Umumnya aman stabilitas lereng diambil $FS \geq 1,25$



Terzaghi at 1923 (Terzaghi effective stress) Mohr Coulomb Criterion

$$\text{Shear stress} = W \sin \beta / A$$

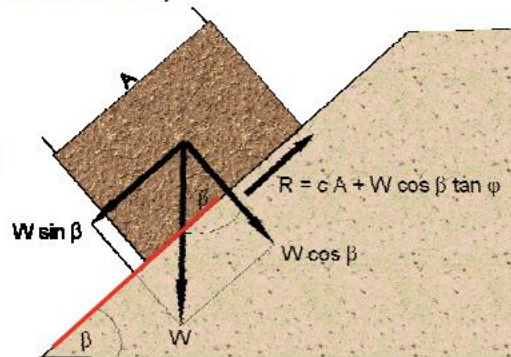
Shear strength (Mohr-Coulomb criterion)

$$s = c + \sigma \tan \phi$$

$$\sigma = \text{normal stress} = W \cos \beta / A$$

c = cohesion (kPa)

ϕ = angle of internal friction (degrees)



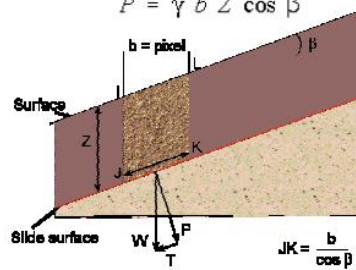
Shear force (tegangan geser)
shear strength (kuat geser)

Shear component of weight:

$$T = \gamma b Z \sin \beta$$

Normal component of weight:

$$P = \gamma b Z \cos \beta$$



ISL 2004

Stress = Force / area

Shear stress → gaya luncur

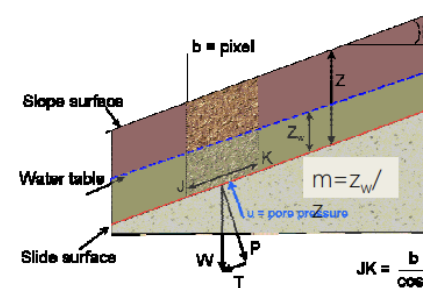
$$\tau = \frac{T}{JK} = \frac{\gamma b Z \sin \beta}{b \cos \beta} = \gamma Z \sin \beta \cos \beta$$

Normal stress/tegangan normal:

$$\sigma_n = \frac{P}{JK} = \frac{\gamma b Z \cos \beta}{b \cos \beta} = \gamma Z \cos^2 \beta$$

Safety factor:

$$F = \frac{c' + (\gamma Z \cos^2 \beta) \tan \phi}{\gamma Z \sin \beta \cos \beta}$$



Factor of safety including pore pressure:

$$F = \frac{c' + (\gamma Z \cos^2 \beta - u) \tan \phi}{\gamma Z \sin \beta \cos \beta}$$

$$F = \frac{c' + (\gamma Z \cos^2 \beta - \gamma_w m Z \cos^2 \beta) \tan \phi}{\gamma Z \sin \beta \cos \beta} = \frac{c' + (\gamma - m \gamma_w) Z \cos^2 \beta \tan \phi}{\gamma Z \sin \beta \cos \beta}$$

ISL 2004

Height watertable above failure surface

$$z_w = m Z$$

m: dimensionless

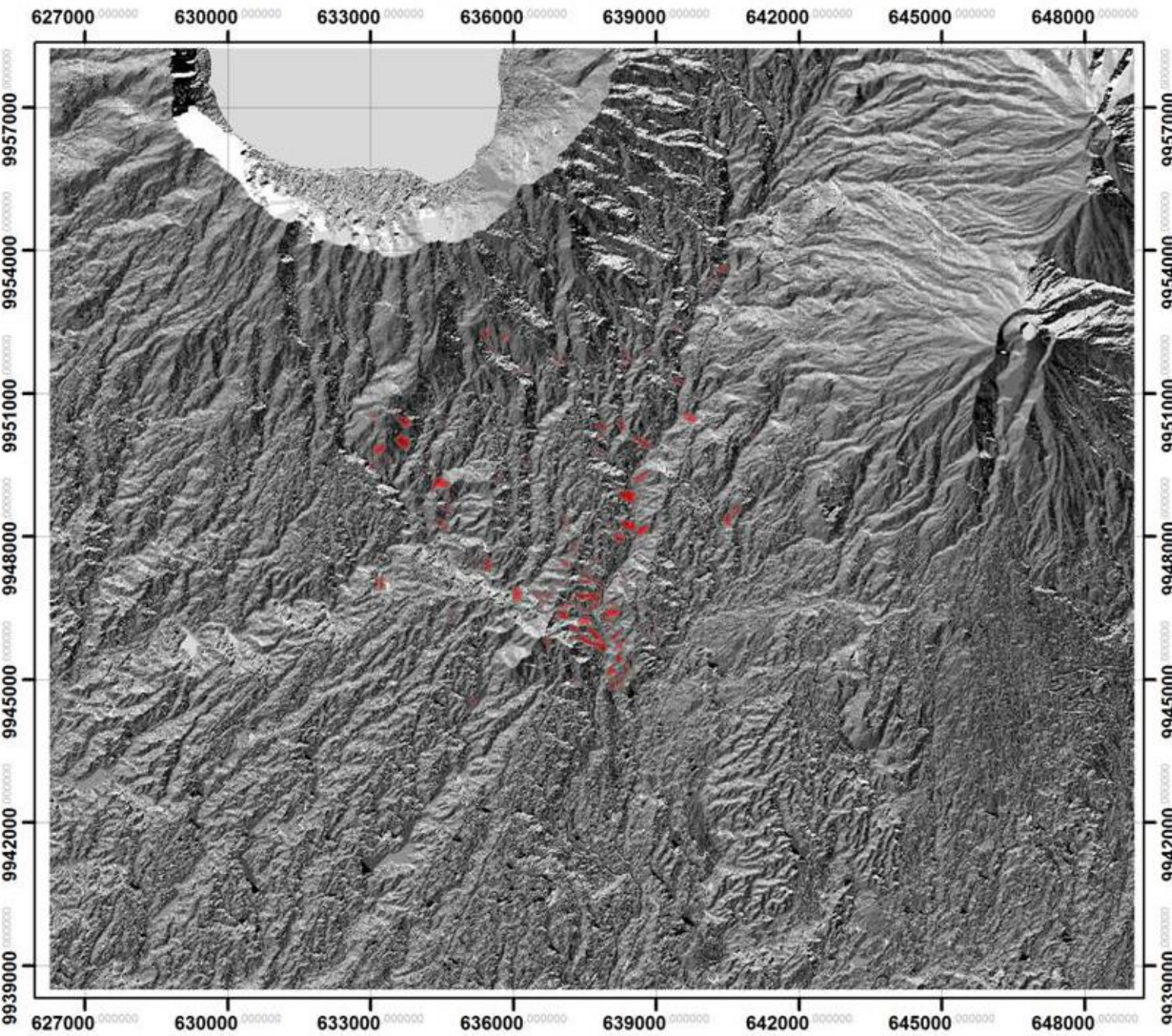
$$W_w = \gamma_w b z_w = \gamma_w b m Z$$

Normal component of water weight:

$$Pw = \gamma_w b m Z \cos \beta$$

Pore pressure on JK:

$$u = \frac{\gamma_w b m Z \cos \beta}{b \cos \beta} = \gamma_w m Z \cos^2 \beta$$





Pvmbg, 2009



Sumbaronline.com



www.geologi.esdm.go.id



@kabargeologi



Badan Geologi



Badan Geologi

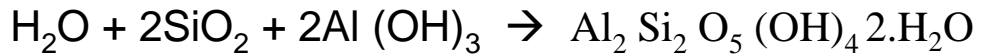


@kabargeologi



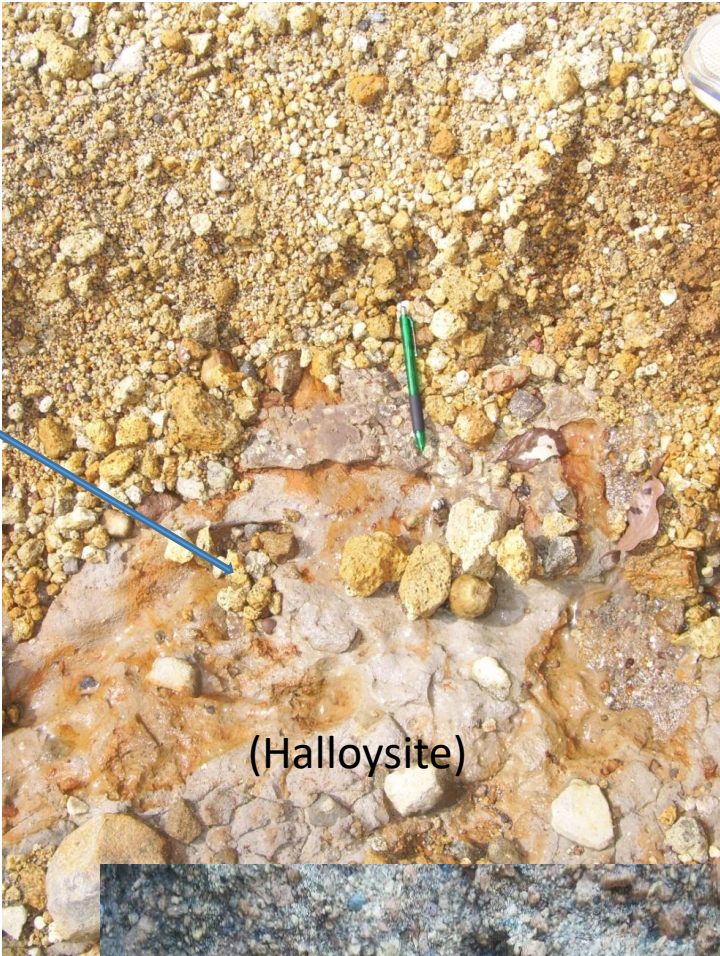
Egli, 2007

batuapung

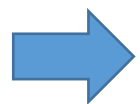


Gibsite

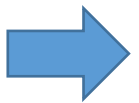
Halloysite



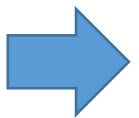
Kondisi Keteknikan material penyusun lereng



γ_{tuf} batuapung= 1,45 gr/cm³, ϕ = 31,4°
 c = 0,09 kg/cm²

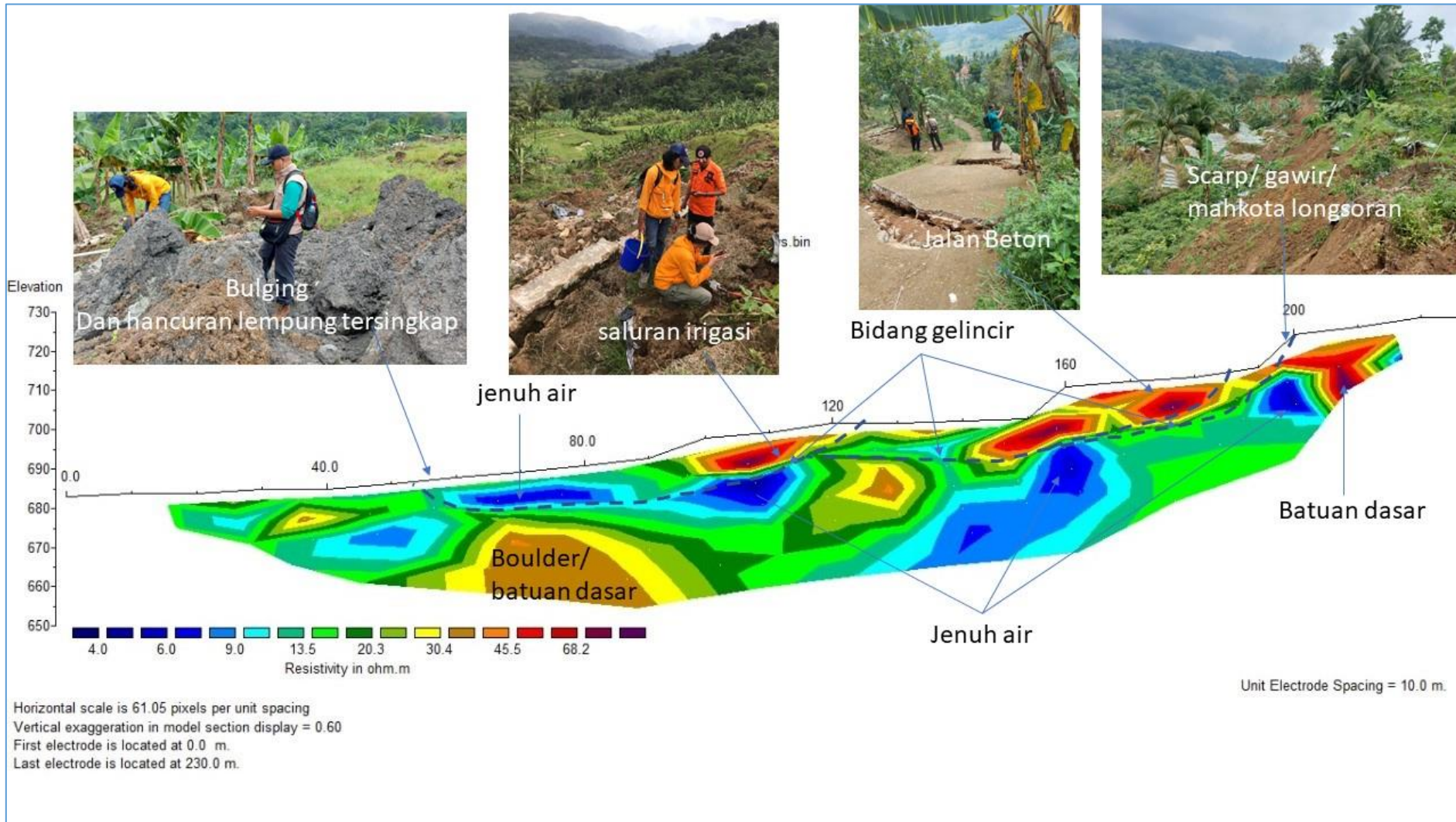


γ bidang gelincir=1,5 gr/cm³,
 ϕ =22° c = 0,194 kg/cm²



γ lapukan Qpt= 1,82 kg/cm³,
 ϕ =29,15° c = 0,16 kg/cm²





www.geologi.esdm.go.id



@kabargeologi



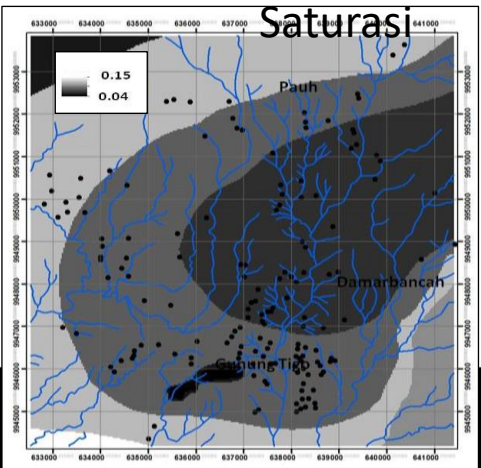
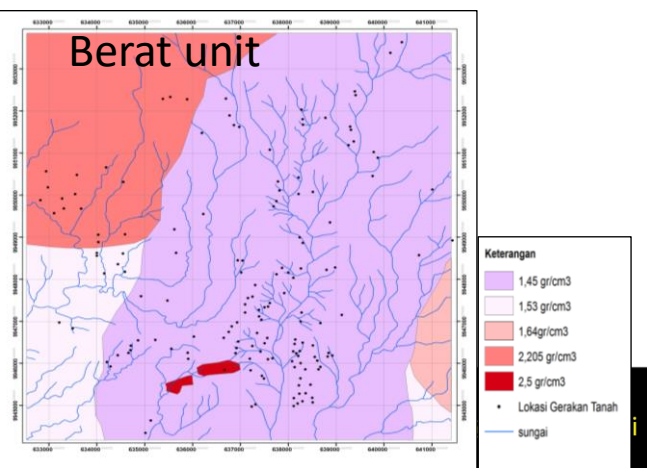
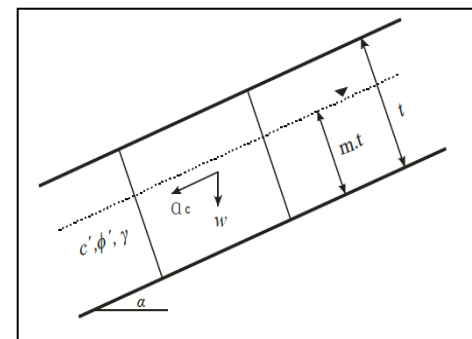
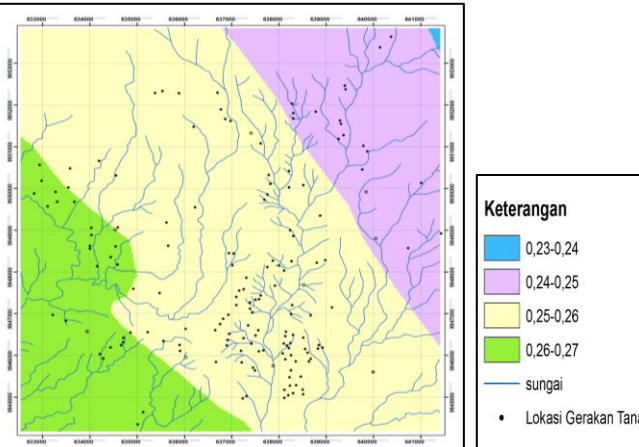
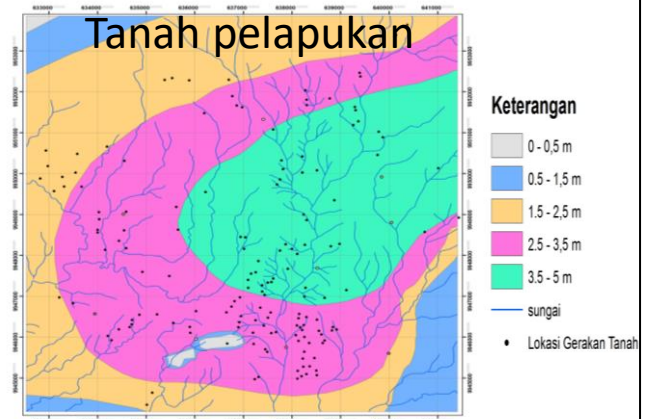
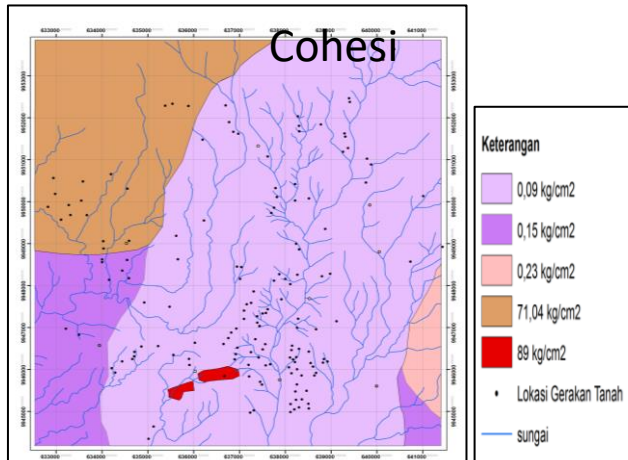
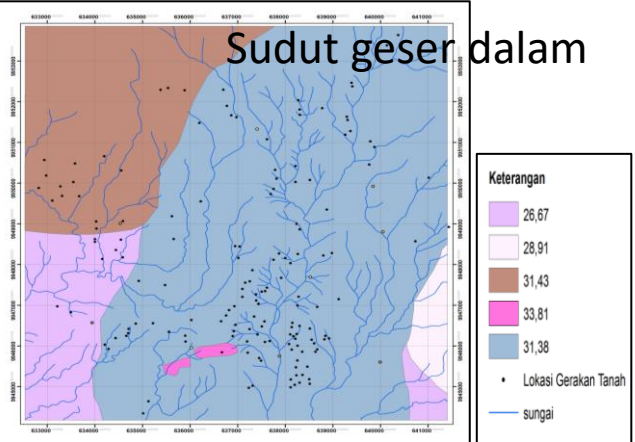
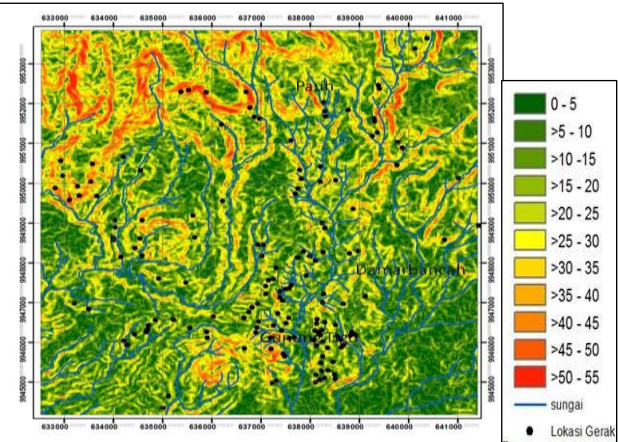
Badan Geologi



Badan Geologi



@kabargeologi



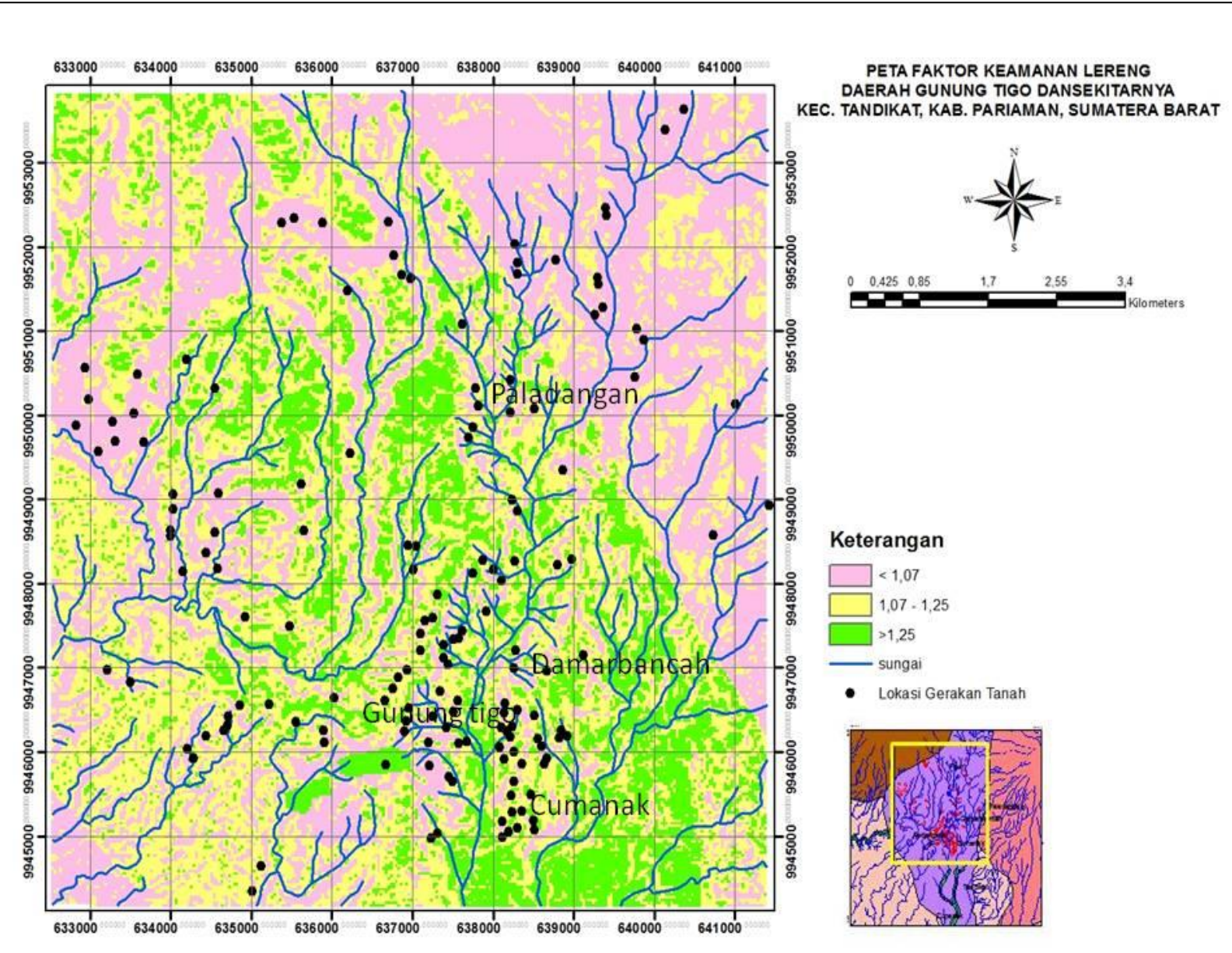
$$FK = \frac{cI}{\gamma s g t \sin \alpha \cos \alpha} \frac{\tan \phi}{\tan \alpha} - m \frac{\gamma_W g \tan \phi}{\gamma \tan \alpha}$$



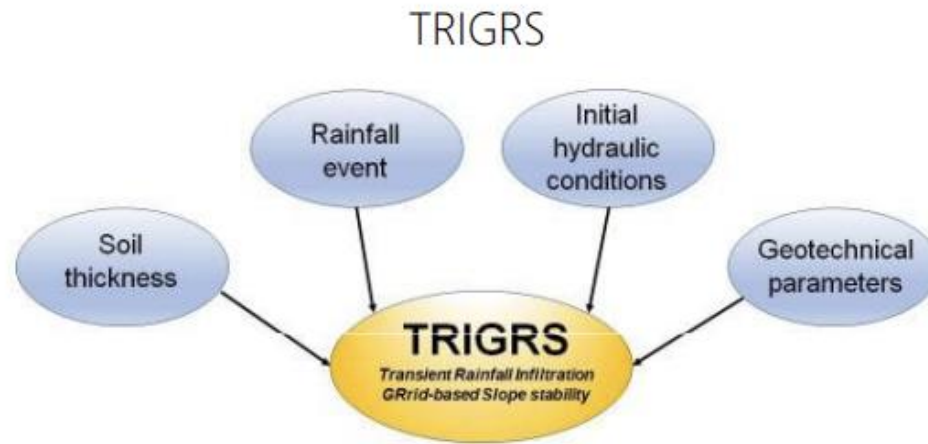
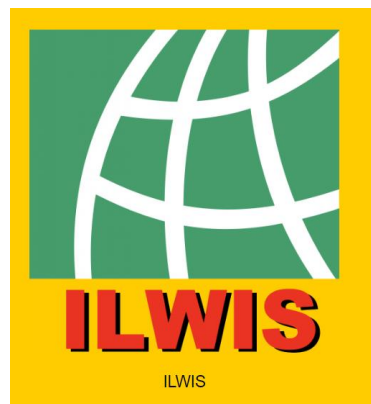
Badan Geologi



@kabargeologi



Contoh software utk pembuatan peta deterministik



SIMULASI DEBRIS FLOW UNTUK MITIGASI BENCANA



www.geologi.esdm.go.id



@kabargeologi



Badan Geologi



Badan Geologi



@kabargeologi



Definisi aliran debris awalnya beragam, seperti debris flow, mudflow, debris torrent, debris avalanches, dsb.

Stiny (1910), debris flow berawal dari banjir di lereng curam membawa banyak material *suspended* dan *bed load* yang terus meningkat hingga aliran berubah jadi massa kental air, tanah, pasir, kerikil, batu dan batang kayu mengalir bagai lava.

Blackwater (1928), Bull (1964) dan Candell (1957), mengemukakan mudflow sebagai debris flow dng kandungan material lebih halus, terjadi di lereng tandus atau vulkanik.

Varnes (1978) Debris flow adalah massa yang mengandung bahan padat, air dan udara yang bergerak sebagai aliran kental.

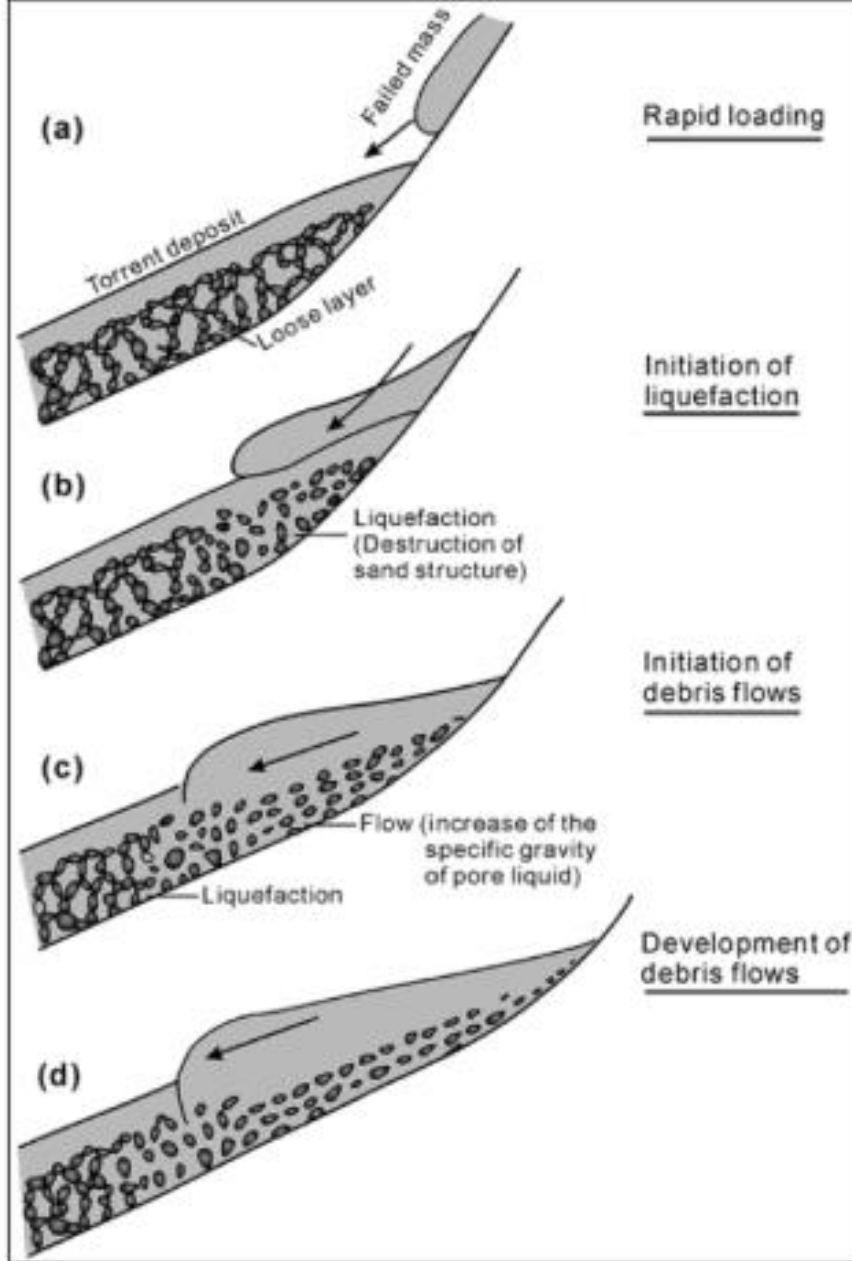
Iverson dkk (1997), aliran debris terjadi ketika massa memiliki sortasi yang buruk dan jenuh bergerak menuruni lereng. Material padat dan fluida yang terkandung dalam material sangat berpengaruh pada aliran debris. Tanah longsor secara keseluruhan atau sebagian dapat berkembang menjadi aliran debris

Hungr (2001) Material debris bersifat non plastic dan tidak seragam (unsorted)

Faktor lain yang mempengaruhi distribusi debris flow adalah tekanan air pori (Major and Iverson, 1999; Major, 2000; Iverson, 2003).

Proses likuifaksi massa tanah hasil longsoran dapat berubah menjadi aliran debris (Watanabe, 1981, Sassa, 1981, dan T. Takahashi, 2001).





TERBENTUKNYA ALIRAN DEBRIS OLEH PROSES LIKUIFAKSI DEPOSIT SEDIMENT DI ALUR CURAM (Sassa, 1985)

PROSES :

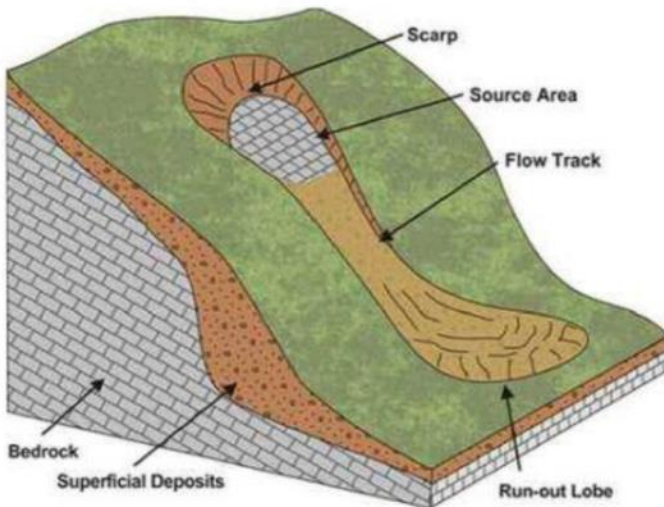
- (a) dan (b),**
saat deposit sedimen mulai mengalir, bagian depan mengalami proses likuifaksi, sehingga
- (c) dan (d),**
sedimen yang mengalir meningkat, membentuk aliran debris. ketika sedimen mulai mengalir, bagian depan mengalami proses likuifaksi, sehingga volume meningkat.

Catatan,

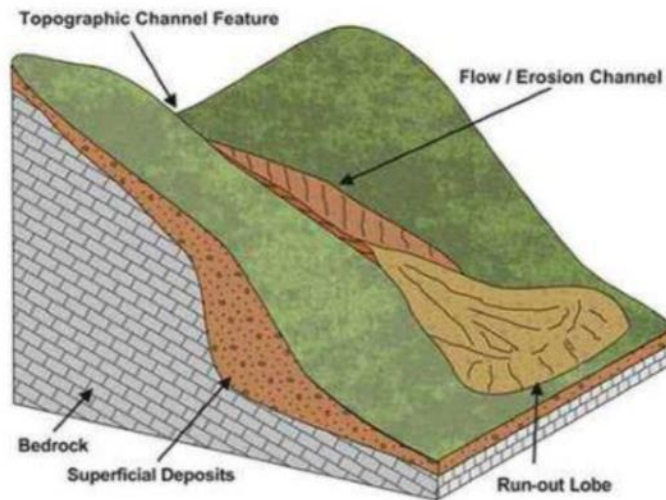
Umumnya, likuifaksi terjadi akibat tanah longsor dan tanah sangat lepas dan tidak stabil. (pada bidang longsor dpt pula terjadi pada tanah lepas, agak lepas dan tanah padat, sepanjang kerusakan (struktur) butiran yg terjadi akibat pembebanan diatasnya.

Proses mekanisme yang sama dikemukakan oleh *Hutchinson and Bhandari (1971), Tabata and Ichinose (1973), Costa and Williams (1984).*

Terminologi dan Klasifikasi

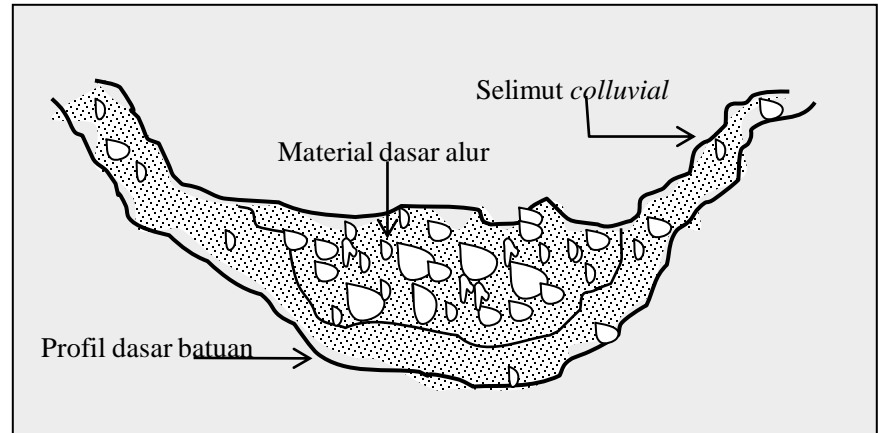


a) Hillslope Debris Flow

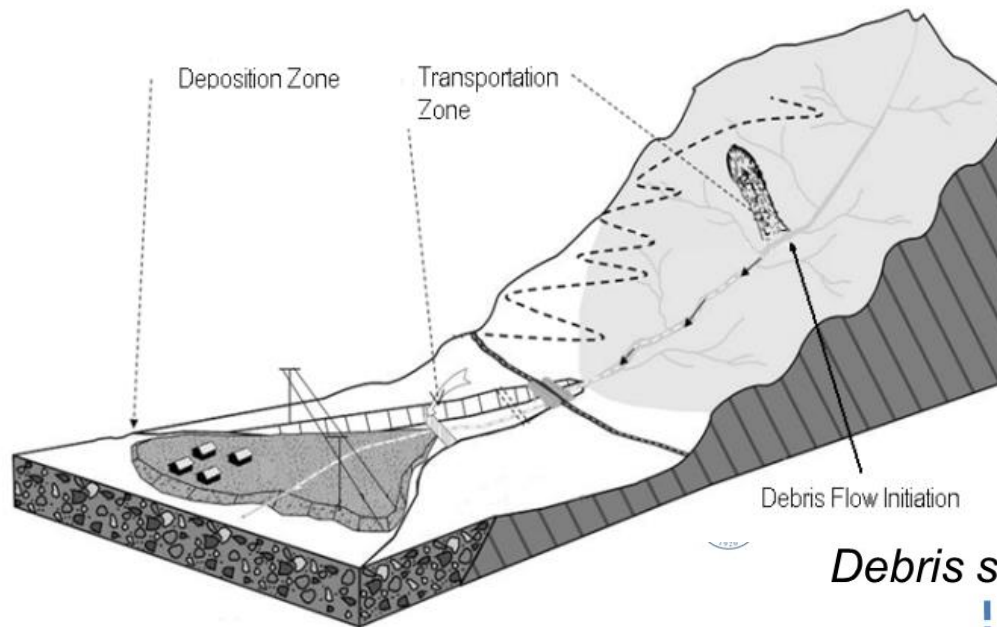


b) Channelised Debris Flow

Nettleton et al (2005)



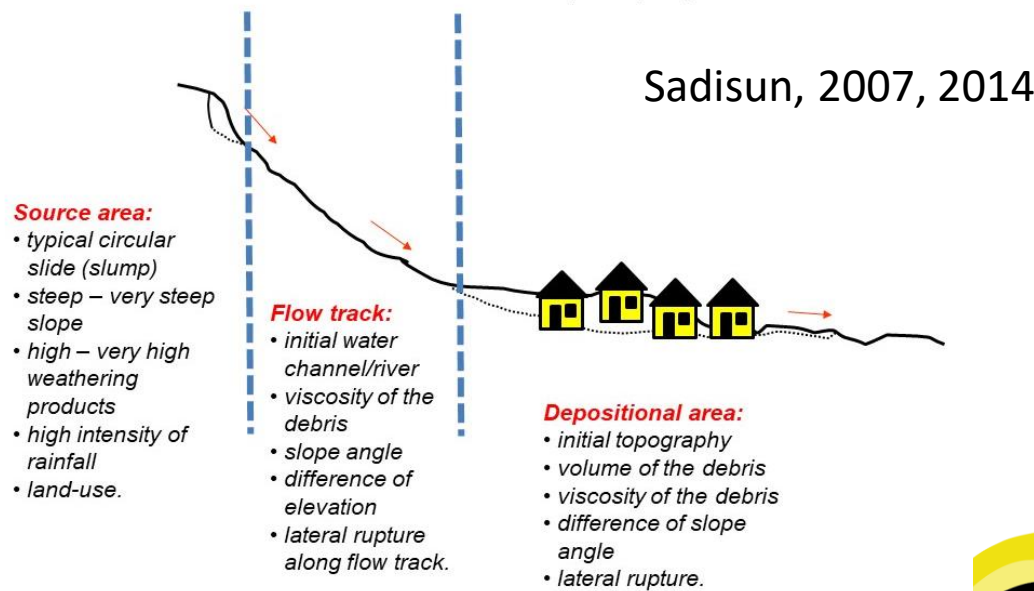
Debris Flow Origin



3 Faktor pendorong terbentuknya aliran debris :

1. Kemiringan dasar (alur atau lembah) $> 15^{\circ}$.
2. Material di lereng atau lembah pembentuk aliran debris.
3. Air dalam jumlah besar yang dapat menjenuhkan deposit material sedimen

Debris slide to flow (Sadisun, 2007)



DEBRIS FLOW

PERGERAKAN SEDIMEN

Dapat terjadi dalam dua cara, yaitu :

Pergerakan massa (DEBRIS FLOW)

1. Tampang lintang **endapan** cenderung cembung di tengah.
2. Tampang memanjang **membesar** di bagian depan (kepala aliran).
3. Lapisan endapan merata.

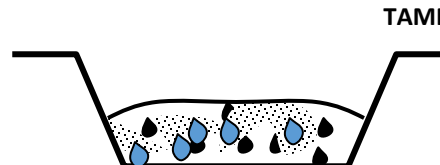
Pergerakan individu (SUNGAI BIASA)

1. Tampang lintang endapan berada di dasar aliran.
2. Tampang memanjang pergerakan sedimen mandiri di dasar sungai menggeser, menggelinding dan melompat.
3. Endapan tampak berlapis.

ILUSTRASI

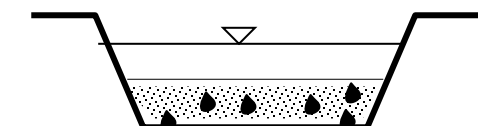
PERGERAKAN SEDIMENT KOLEKTIF DAN MASSA

Angkutan Kolektif (aliran Debris)

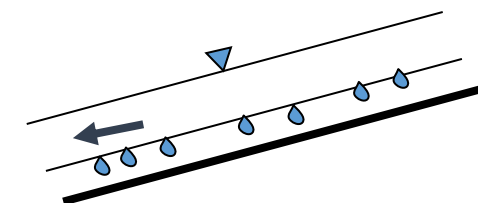
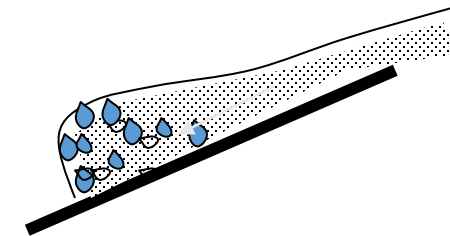


Angkutan Individu (aliran sungai biasa)

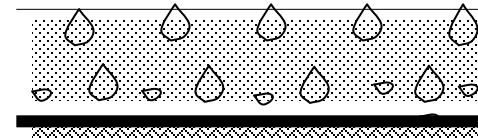
TAMPANG LINTANG



TAMPANG MEMANJANG



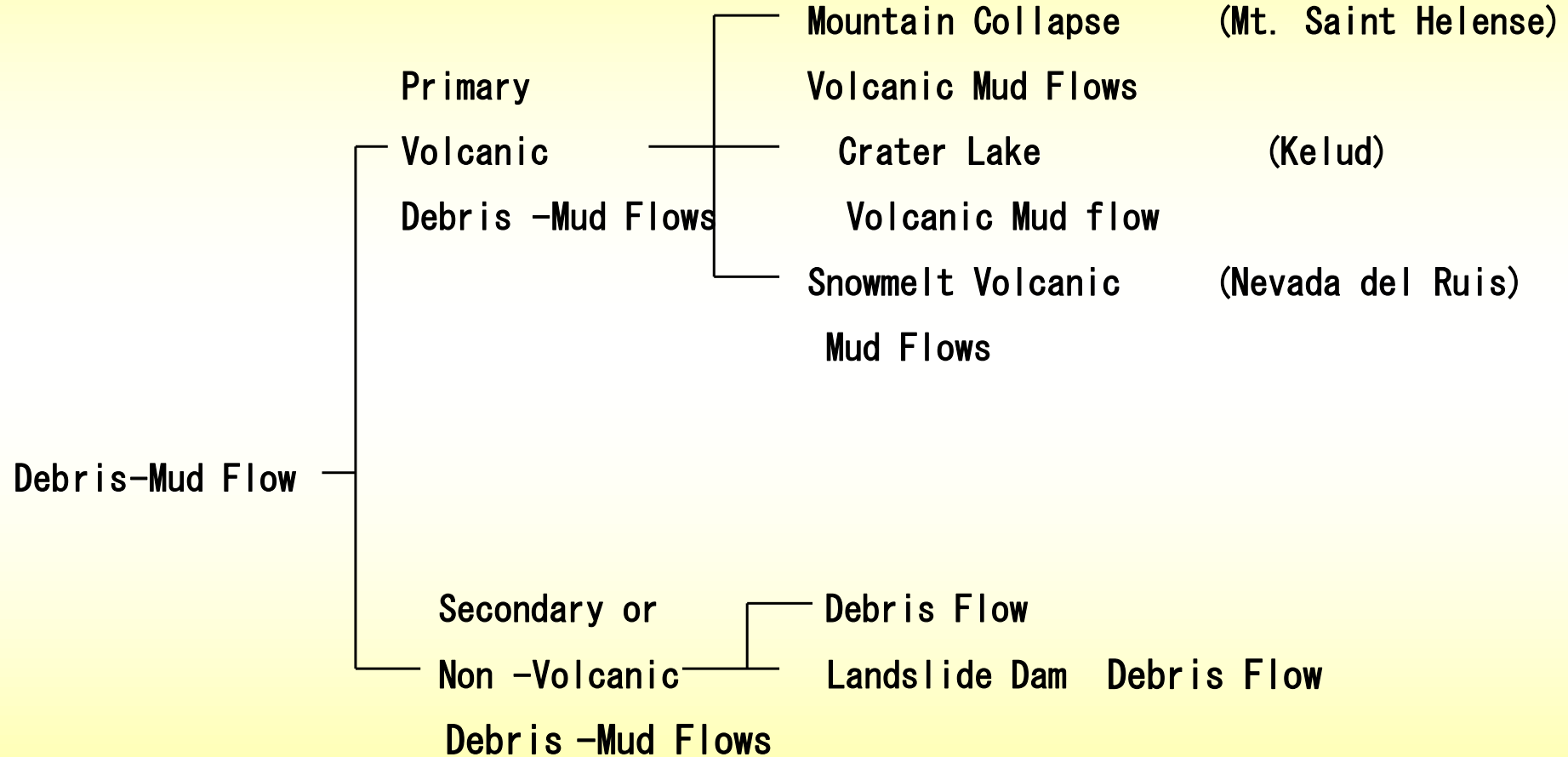
LAPISAN ENDAPAN DI DASAR

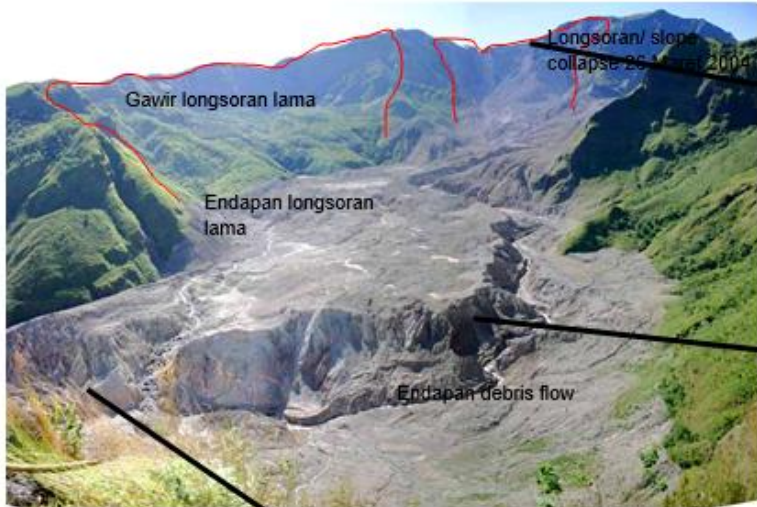


Haryono Kusumosubroto



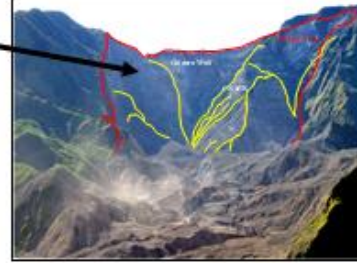
Klasifikasi Debris-Mud Flow by generating factor





Erosi samping tebing sungai yang intensif sehingga berpengaruh pada kelangsungan sedimentasi di Bili-Bili Dam.

Kondisi di Puncak G. Bawakaraeng kearah S. Jeneberang (PVMBG [2008](#) dan Dept Pekerjaan Umum 2008)



ISSUES:

High Possible Collapse Volume :
18.3 million m³ (August 2008)
Deposit Material longsor 200 jt m³





www.geologi.esdm.go.id



@kabargeologi



Badan Geologi



Badan Geologi



@kabargeologi

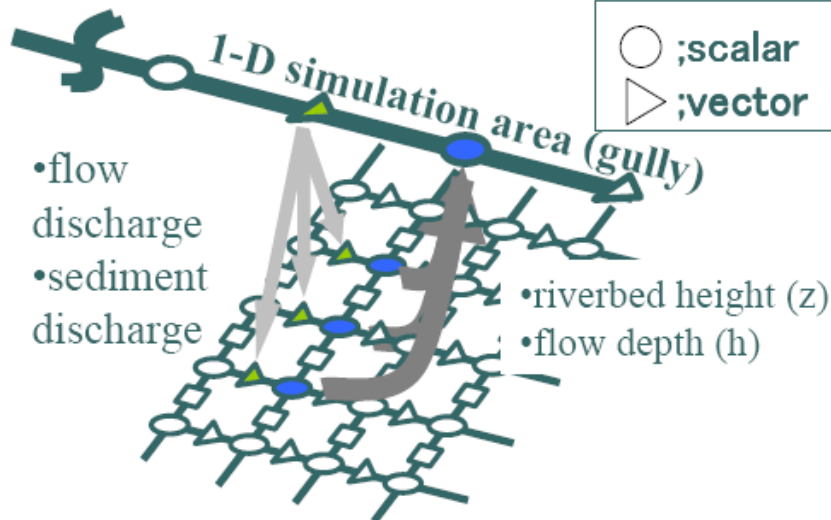


Numerical Simulation Methods

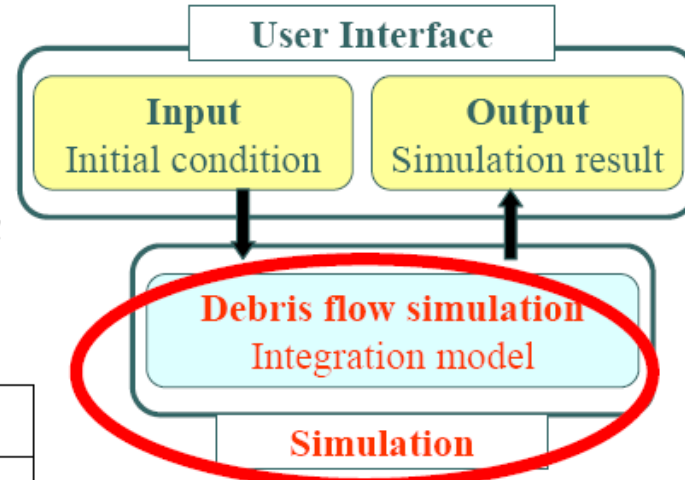
The system is based on an **integration model** (*Wada et al.:2007*).

Integration model outline

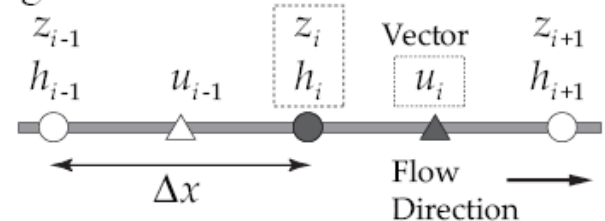
| | |
|--|--|
| gully areas | ○ 1-dimensional simulations |
| alluvial fans | ○ 2-dimensional simulations |
| boundary areas between gullies and alluvial fans | ○ Consider 1-D and 2-D simulations mutual influence |



Outline of Integration model



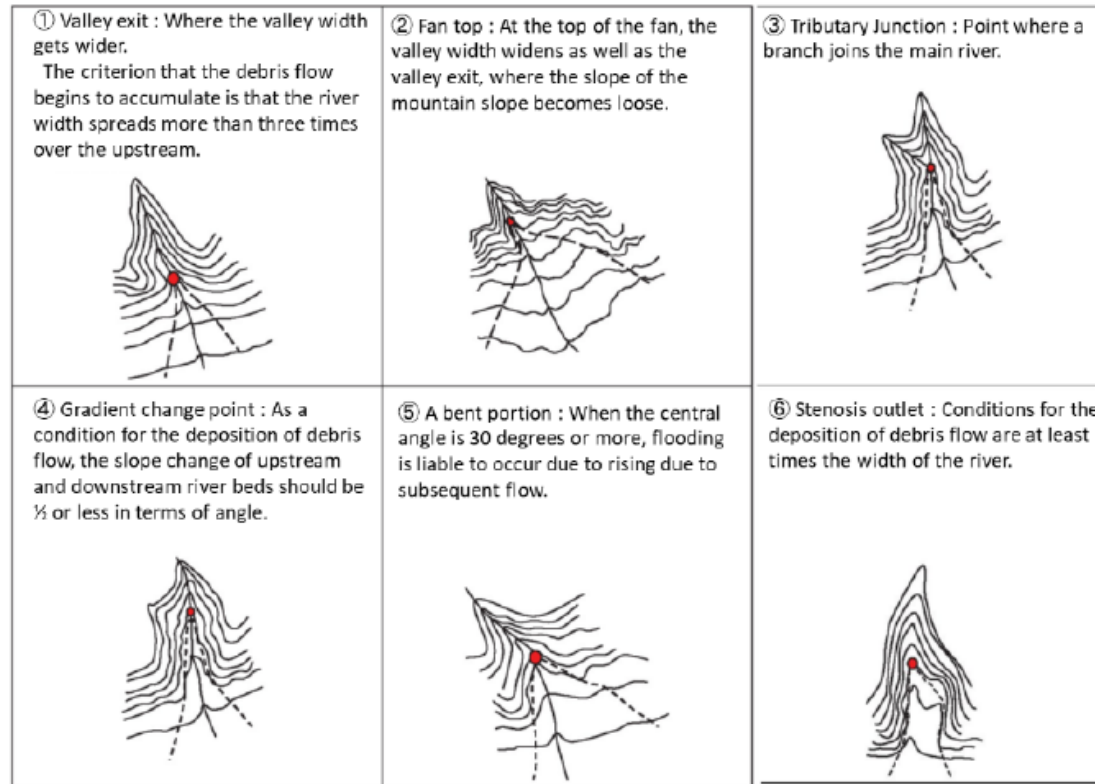
A staggered scheme is used in this model. Here, scalar and vector quantities are set; they are staggered by 1/2 in the direction of flow direction, as shown in the figure below.



Arrangement of variables

Table 1-3 Terrain features at flood start point

| No | Flood Starting Point | Terrain features |
|----|------------------------|---|
| 1 | Valley exit: The river | At the point where the river width spreads more than three times from upstream |
| 2 | Fan top | At the top of the fan, at the point where the valley widths spreads and the slope of the mountain floor becomes loose |
| 3 | Tributary junction | At the point where the branch river joins the main river |
| 4 | Gradient change point | At the point where slope change of upstream and downstream. Changing angle is 1/2 or less. |
| 5 | Bent portion | At the point where the ratio(r/b) of channel width(b) to curvature radius(r) is less than 1/10 |
| 6 | Stenosis outlet | At the point where the river width spreads more than three times from upstream |



| Parameters/Variables | Value | Unit |
|---|---------------|-------------------|
| Simulation continuance time | 1800 | second |
| Time interval of calculation | 0.01 | second |
| Diameter of material | 0.1 | m |
| Mass density of bed material | 2550 | kg/m ³ |
| Mass density of fluid phase (water and mud, silt) | 1180 | kg/m ³ |
| Concentration of movable bed | 0.6 | |
| Gravity acceleration | 9.8 | m/s ² |
| Coefficient of erosion rate | 0.0007 | |
| Coefficient of accumulation rate | 0.05 | |
| Coefficient of accumulation rate considering inertial force | 0.9 | |
| Minimum depth at the front of debris flow | 0.05 | m |
| Minimum flow depth | 0.01 | m |
| Manning's roughness coefficient | 0.03 | |
| Pai | 3.14159265358 | |

| Parameters using in 2D area; | Value | Unit |
|---|--------------|-------------|
| Inflow direction [muki] | 0 | |
| Inflow center axis in 2D area[jc] | 10 | |
| Interval of 2D-x calculation points | 5 | m |
| Interval of 2D-y calculation points | 5 | m |
| Minimum depth at the front of debris flow in 2D | 0.01 | m |
| Number of calculation points in 2D-x direction | 60 | |
| Number of calculation points in 2D-y direction | 60 | |

| Parameters using in 1D area; | Value | Unit |
|---|--------------|-------------|
| Number of calculation points in 1D | 49 | |
| Interval of calculation points in 1D | 20 | m |
| Minimum depth at the front of debris flow in 1D | 0.05 | m |

Concentration of movable bed material is calculated using equation below:

$$C_d = \frac{\rho \tan \theta}{(\sigma - \rho)(\tan \phi - \tan \theta)}$$

where,

ρ = mass density of liquid

σ = mass density of bed material

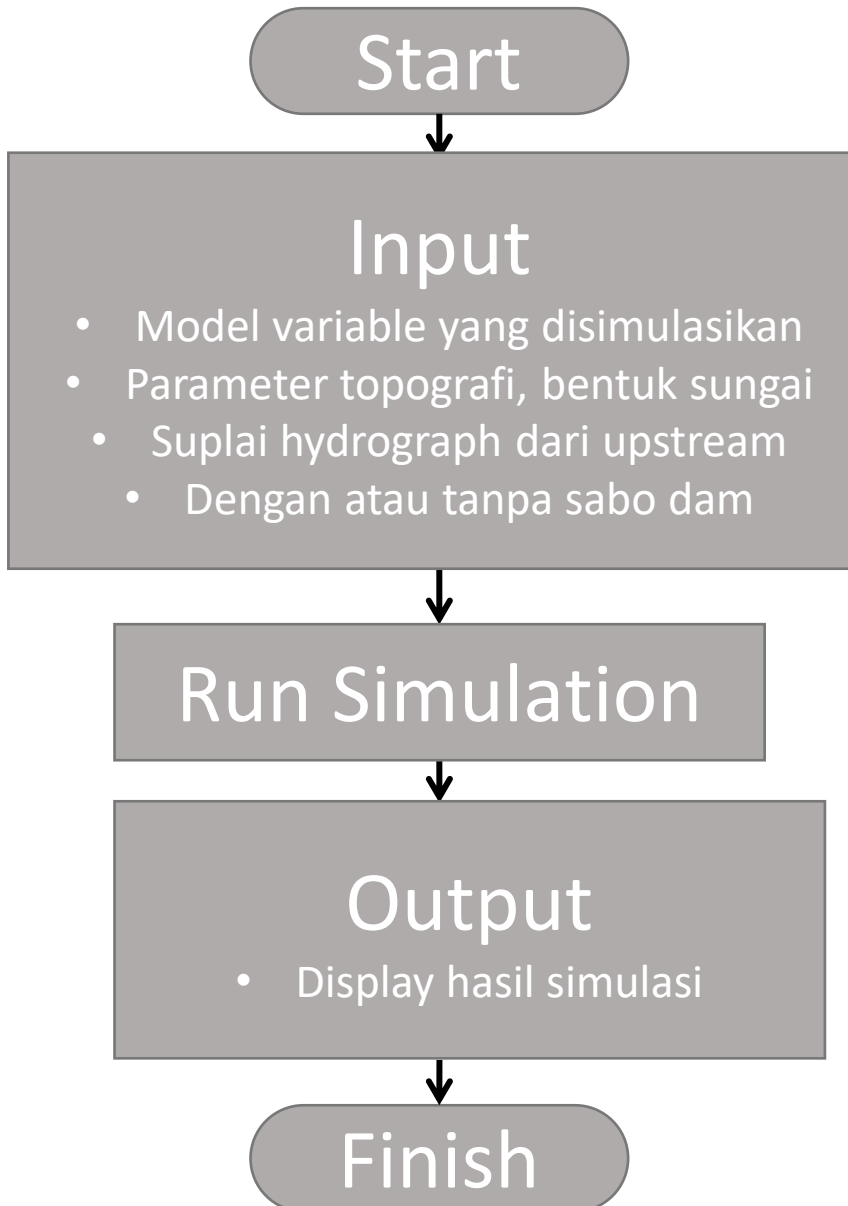
ϕ = internal friction angle ($^{\circ}$)

ϑ = slope angle of river ($^{\circ}$)

Q_p 530 m³/s

Cd = 0,41





Input data, proses, evaluasi dan analisis:

- ❑ **Investigasi lapangan**; Longsoran, Volume Longsoran, Volume Moveable Material, Kondisi geologi, Curah hujan, dan karakteristik morfologi/geomorfologi
- ❑ **Penentuan hydrograph** baik dari sungai atau dari volume longsoran
- ❑ **Test laboratorium** untuk sifat keteknikan tanah
- ❑ **Debris flow simulation** dengan Kanako 2.0 berdasarkan Graphical User Interface (GUI).



Momentum equation of x -axis (flow) direction

$$\frac{\partial u}{\partial t} + u \frac{\partial u}{\partial x} + v \frac{\partial u}{\partial y} = g \sin \theta_{wx} - \frac{\tau_x}{\rho h}$$

Momentum equation of y -axis (cross) direction

$$\frac{\partial v}{\partial t} + u \frac{\partial v}{\partial x} + v \frac{\partial v}{\partial y} = g \sin \theta_{wy} - \frac{\tau_y}{\rho h}$$

Continuation equation for the total debris flow volume

$$\frac{\partial h}{\partial t} + \frac{\partial uh}{\partial x} + \frac{\partial vh}{\partial y} = i$$

Continuation equation for the material volume
of debris flow

$$\frac{\partial Ch}{\partial t} + \frac{\partial Chu}{\partial x} + \frac{\partial Chv}{\partial y} = iC_*$$

Equation for determining change in bed surface elevation

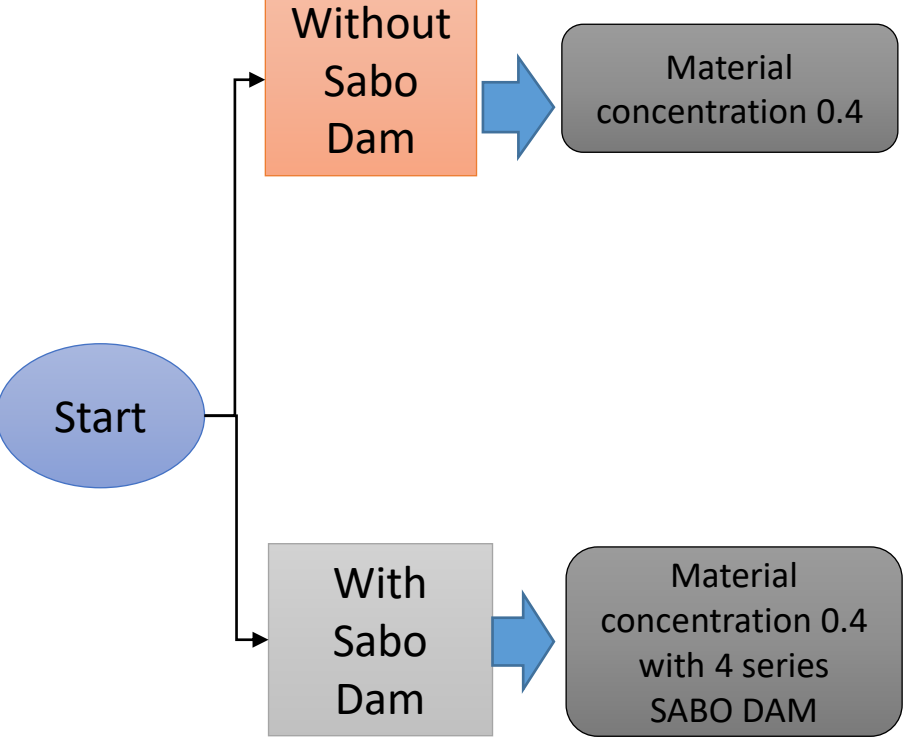
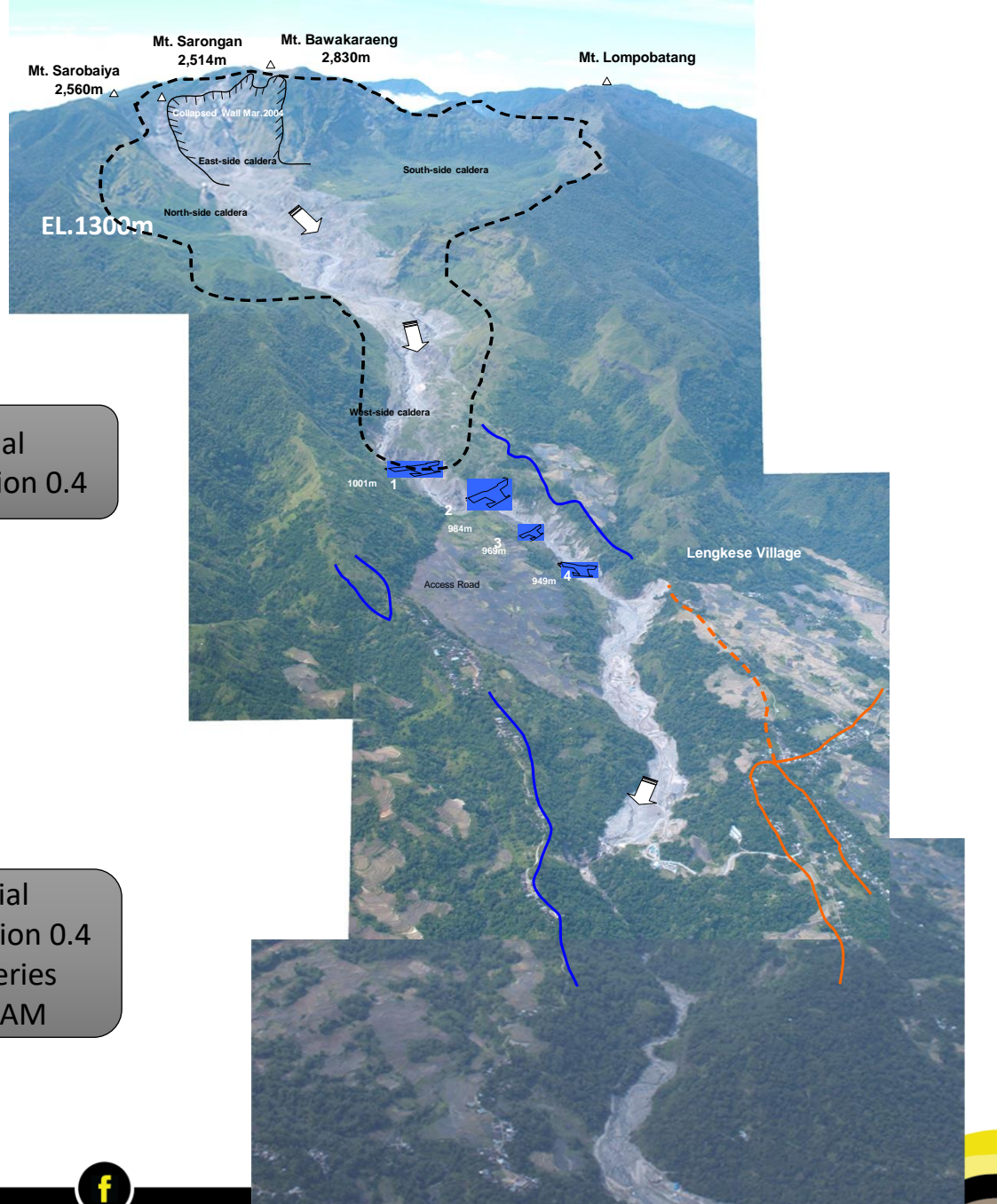
$$\frac{\partial z}{\partial t} + i = 0$$

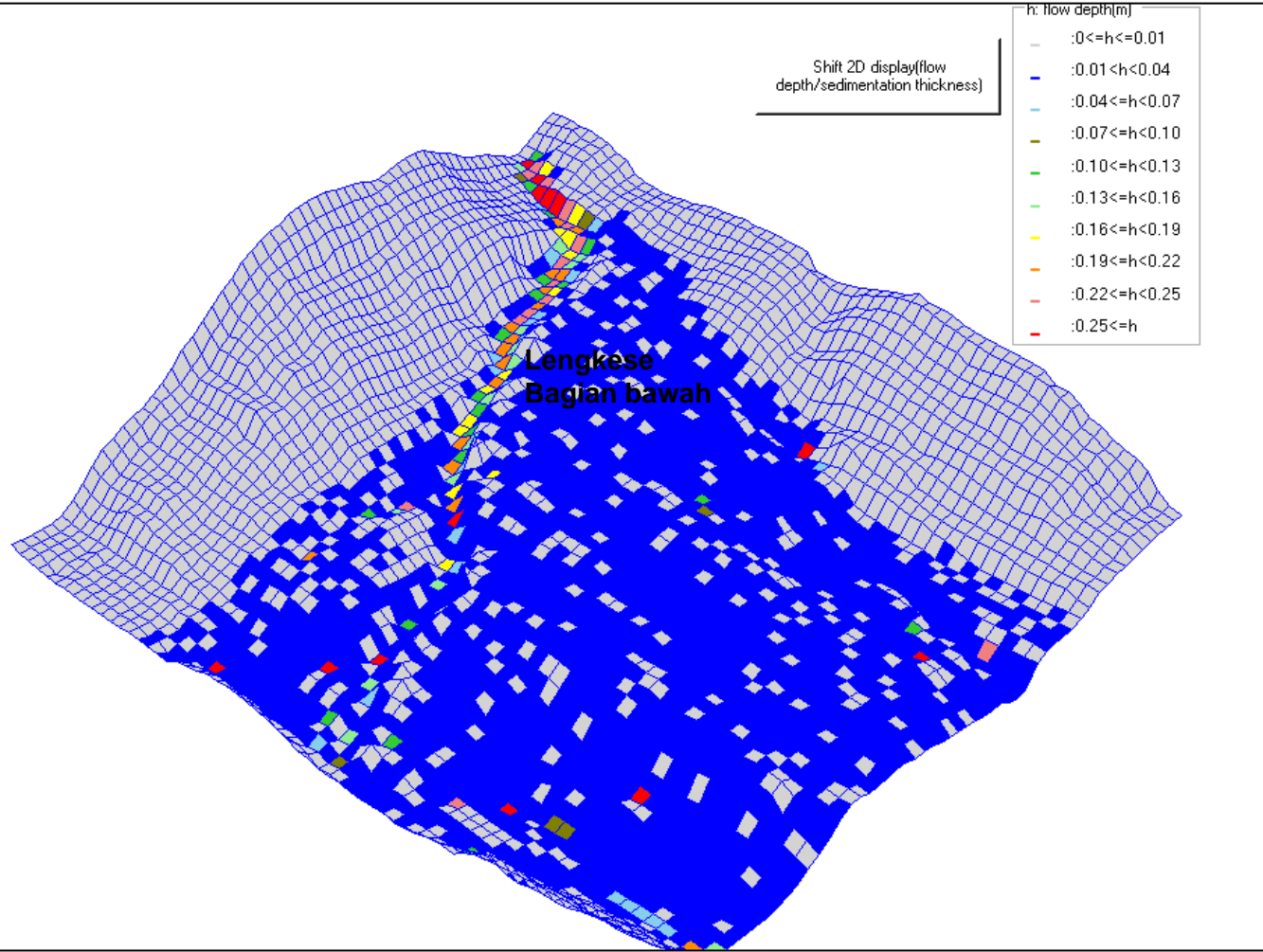
□ The concept of the modeling is based on momentum equation, continuity of flow, river condition, erosion and sedimentation

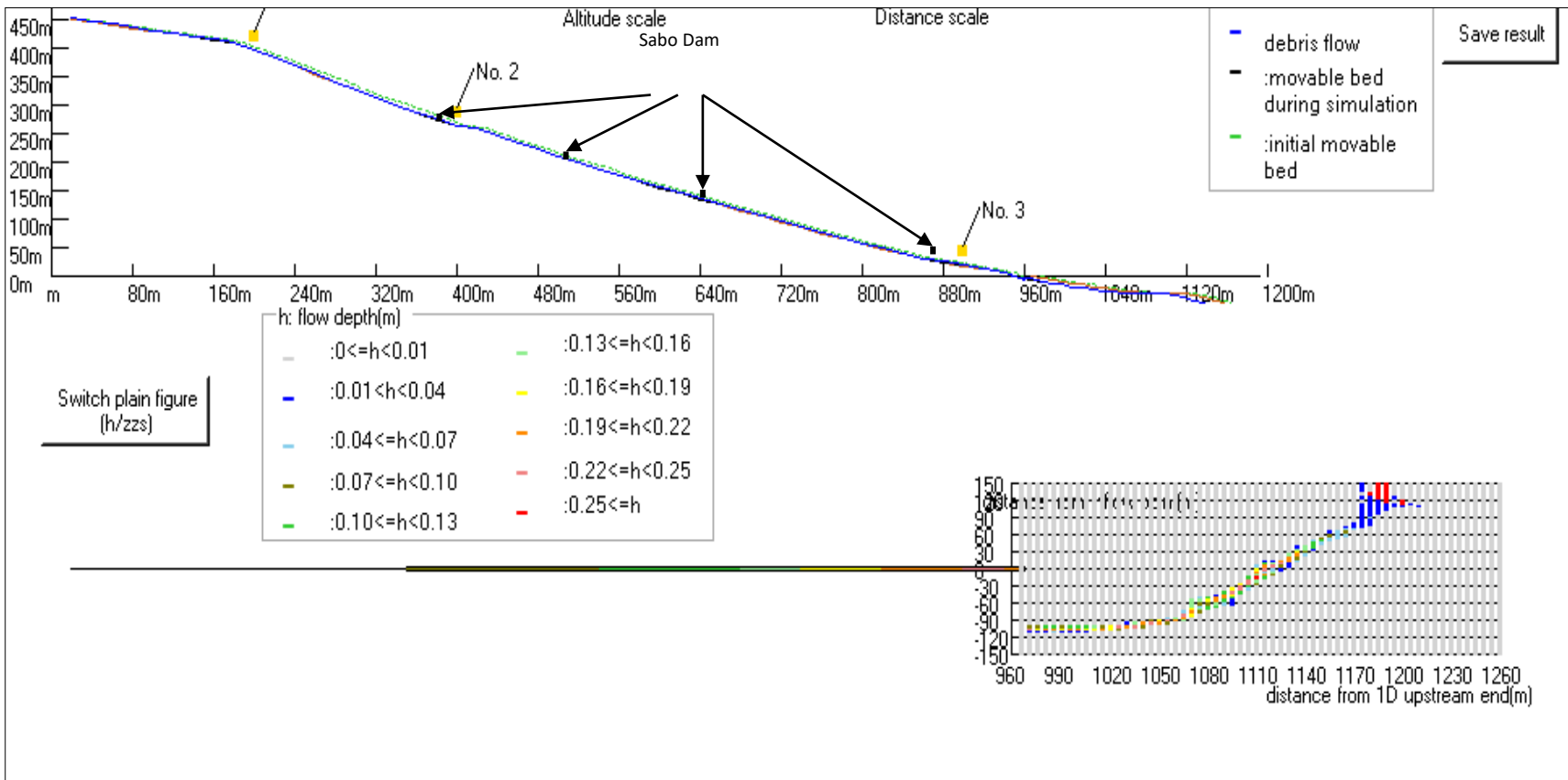
(Takahashi and Nakagawa, 1991 op cit.
Nakatani et al., 2008)

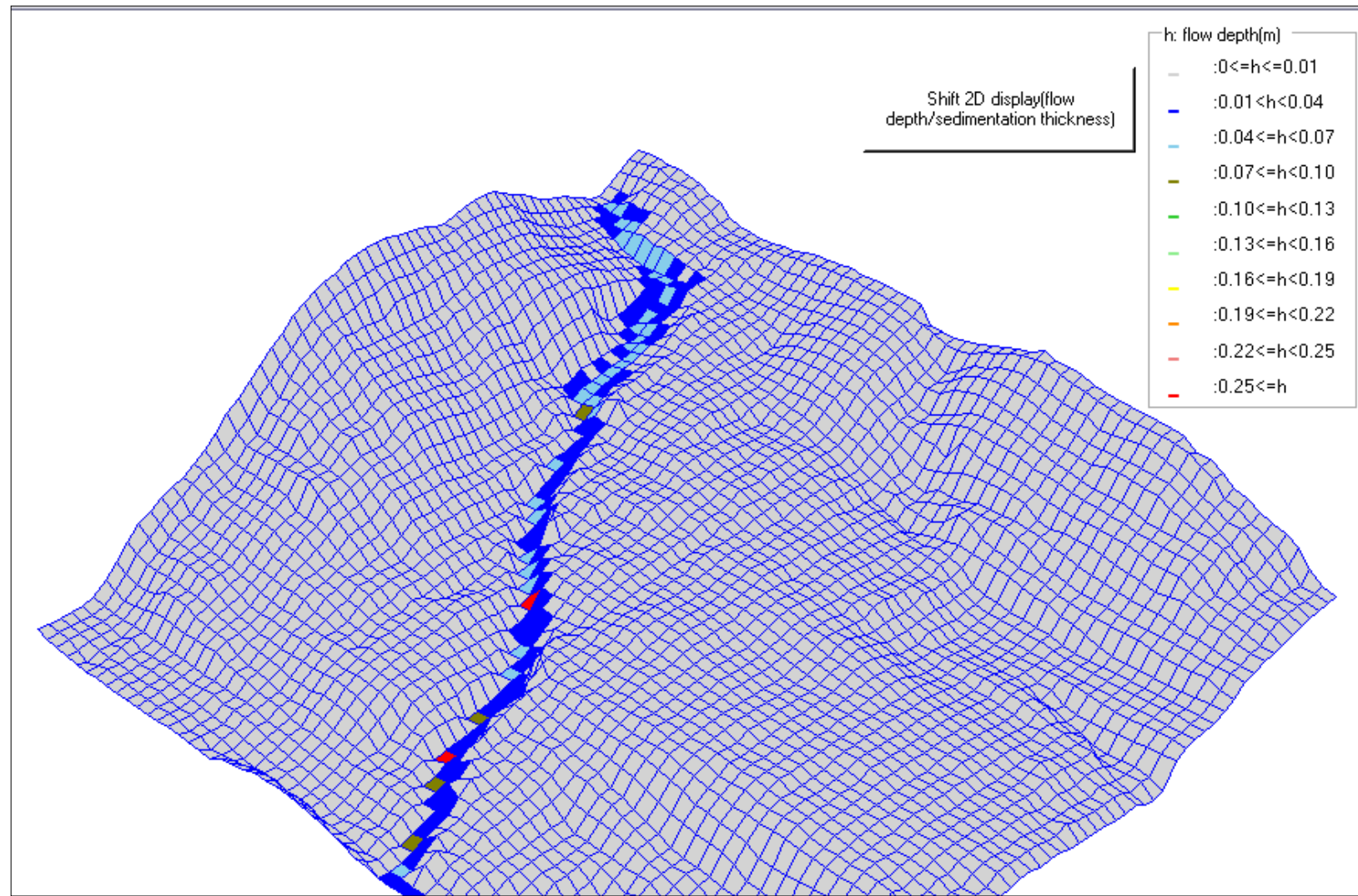
□ Kanako Ver.2.00 debris flow numerical (1D and 2D) simulator was applied (Wada, et al, 2007, Nakatani et al., 2008)











Pemodelan Debris FLOW (RAMMS)



- RAMMS (*Rapid Mass Movement Simulation*) adalah sebuah perangkat lunak untuk pemodelan numerik dinamik yang didesain awalnya untuk pemodelan longsoran salju (*snow avalanches*) (Christen et al., 2010) yang kemudian diaplikasikan untuk pemodelan aliran massa yang lain seperti lahar (Quan Luna, 2007) dan aliran debris (Kowalski, 2008).
- RAMMS menggunakan model kontinum aliran fluida Voellmy-Salm (Salm, 1993) berdasarkan hukum aliran fluida Voellmy dan menjelaskan aliran debris sebagai hidrolika berdasarkan kedalaman rata-rata model kontinum.



RAMMS

- Model ini membagi resistansi friksi menjadi 2 yaitu *dry-Coulomb type friction* (μ) yang berskala dengan tegangan normal dan *viscous-turbulent friction* (ξ). (koefisien ξ). Sehingga persamaan friksi S (Pa) menjadi :

$$S = \mu \rho H g \cos \phi + \frac{\rho g U^2}{\xi}$$

ρ : berat jenis aliran
 ω : sudut kelerengan
 g : percepatan gravitasi
 H : tinggi aliran
 U : kecepatan aliran

RAMMS versi 1.6.2 dimodifikasi dengan menambahkan kohesi (C)

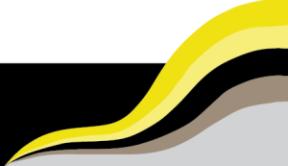
$$S = \mu N + (1 - \mu) C - (1 - \mu) C \exp\left(-\frac{N}{C}\right) + \frac{\rho g U^2}{\xi}$$

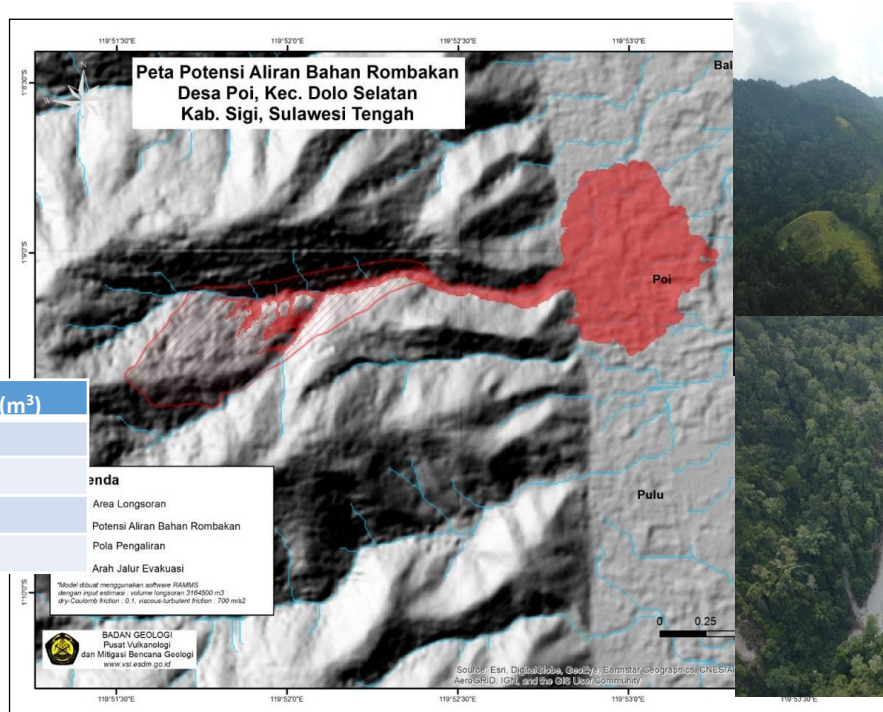
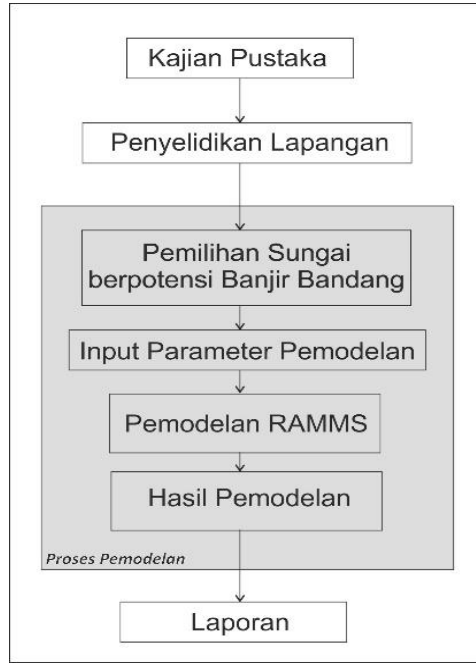


INPUT RAMMS

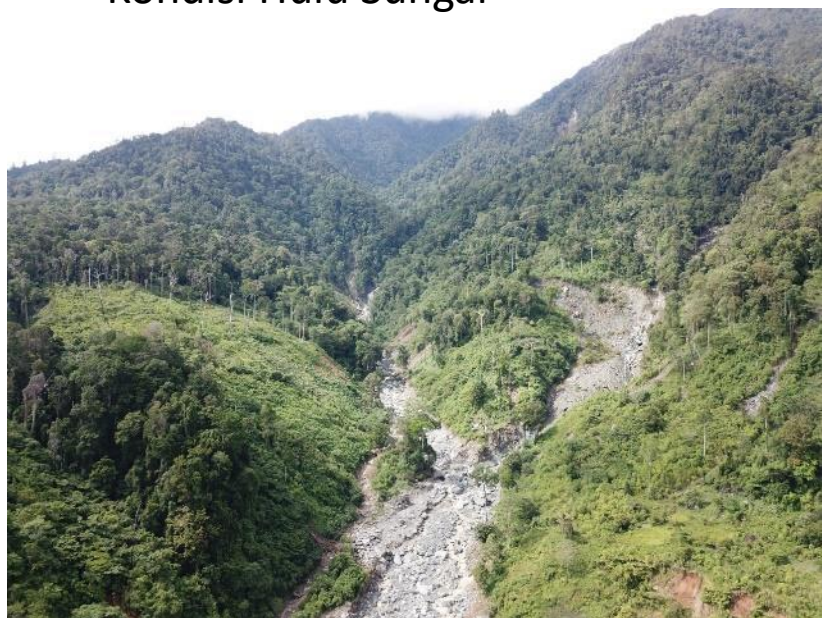
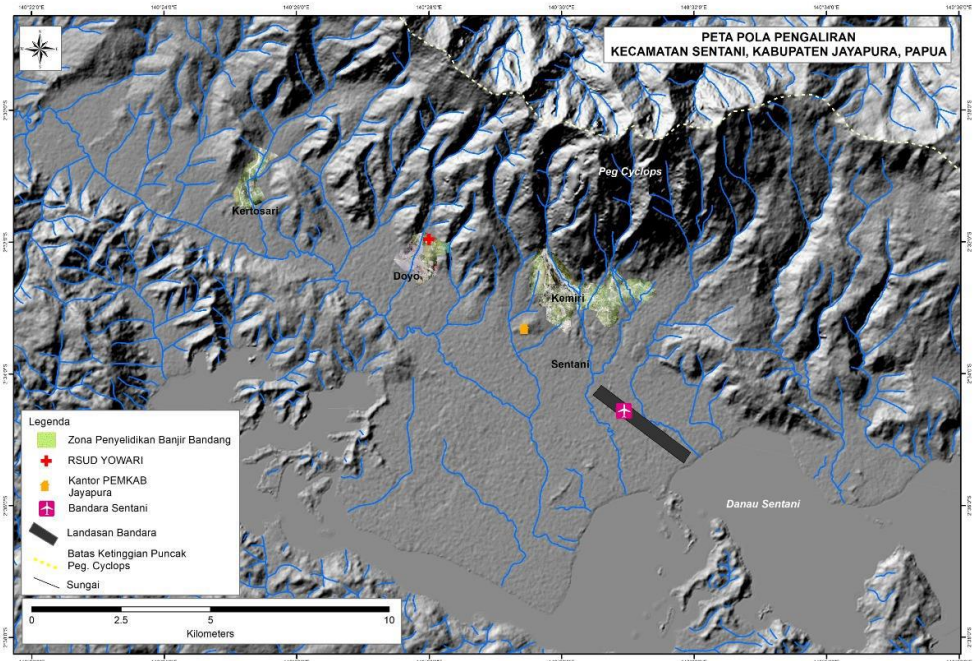
Dalam memodelkan debris flow ada beberapa input parameter yang dibutuhkan :

- DEM dan Orthophoto
- Input inisiasi titik awal aliran
- Input Volume
- Input Friksi (μ dan ξ)
- Massa Jenis Batuan
- Kohesi
- Debit (Untuk model Hydrograph)



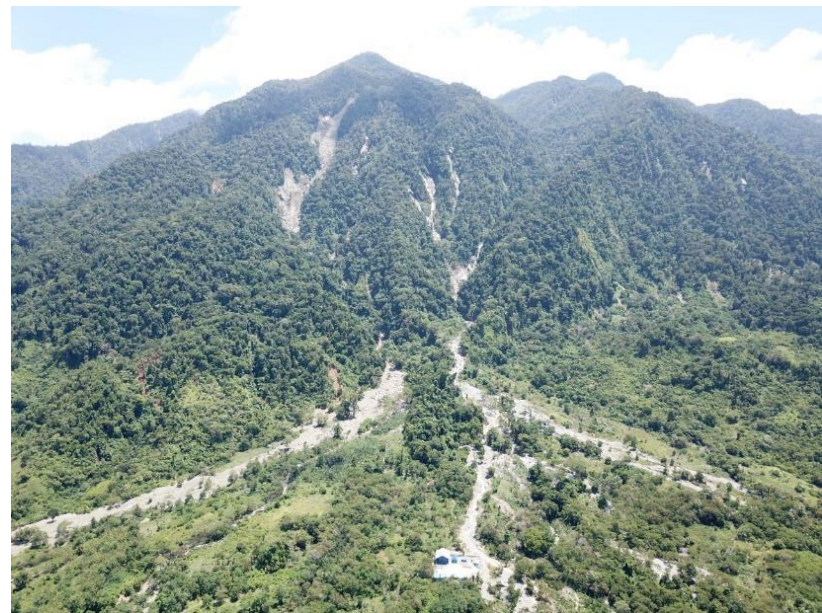


Kondisi Hulu Sungai

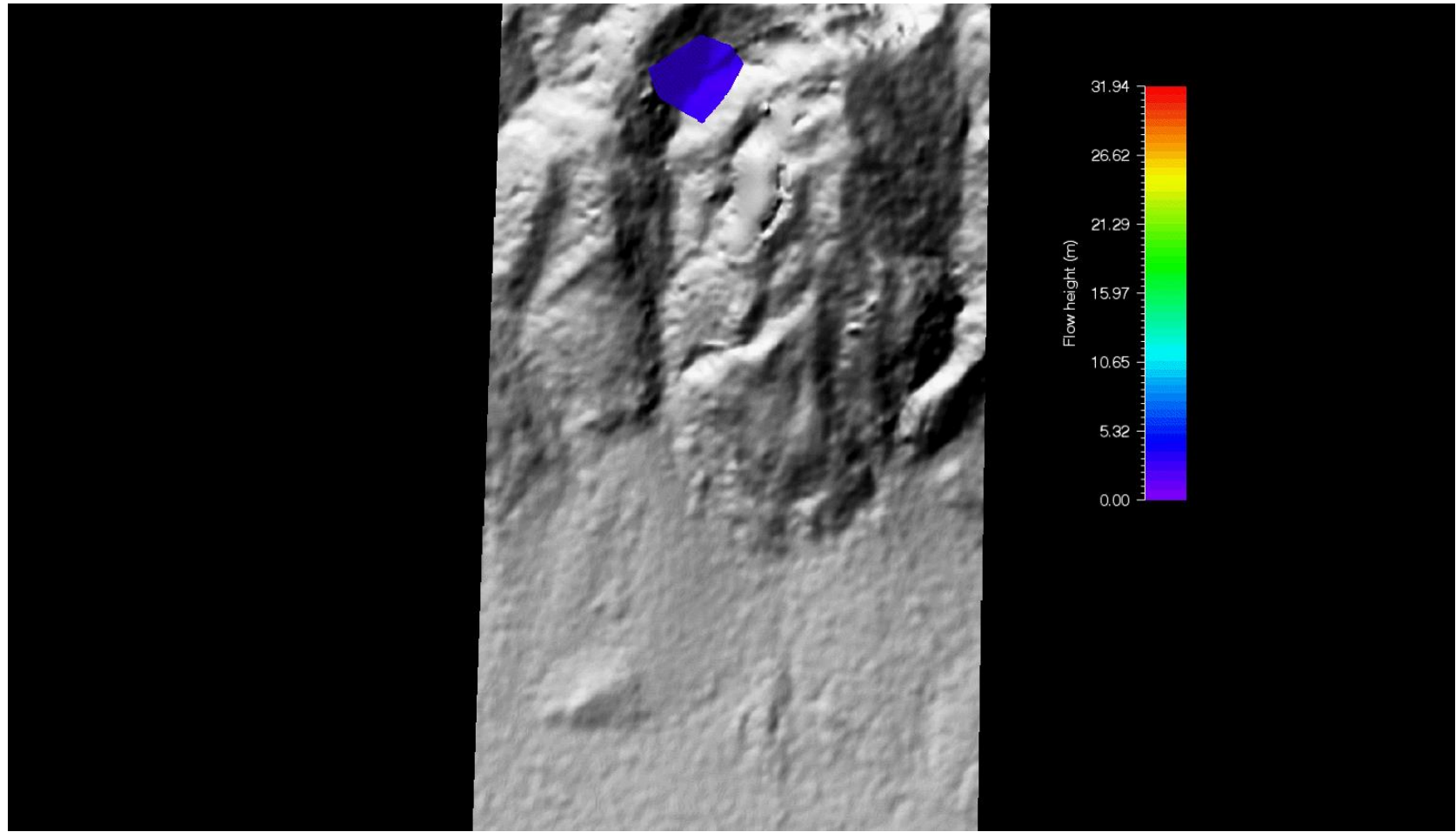


- Daerah hulu yang merupakan sumber bencana berada pada areal yang memiliki **karakteristik bentang alam Perbukitan struktural lipatan bermaterial batuan metamorfik (Rendah dalam Menyerap Air Hujan)** merupakan bentang alam yang terbentuk karena adanya proses geologi berupa tekanan yang mengakibatkan terlipatnya struktur lapisan batuan.
 - Morfologinya** bagian hulu/ perbukitan dicirikan oleh **topografi berbukit dengan kelerengan $>15^\circ$ dan ketinggian 0–300 m.**
 - Material penyusunnya** berupa batuan metamorfik atau batuan malihan yaitu batuan yang terbentuk sebagai akibat dari berlangsungnya tekanan dan temperatur.

Pada bagian hilir atau daerah terlanda berupakan wilayah pedataran (miringan lereng) yang bermuara di lahan



MODEL – ALIRAN BAHAN ROMBAKAN/ BANJIR BANDANG SENTANI



www.geologi.esdm.go.id



@kabargeologi



Badan Geologi



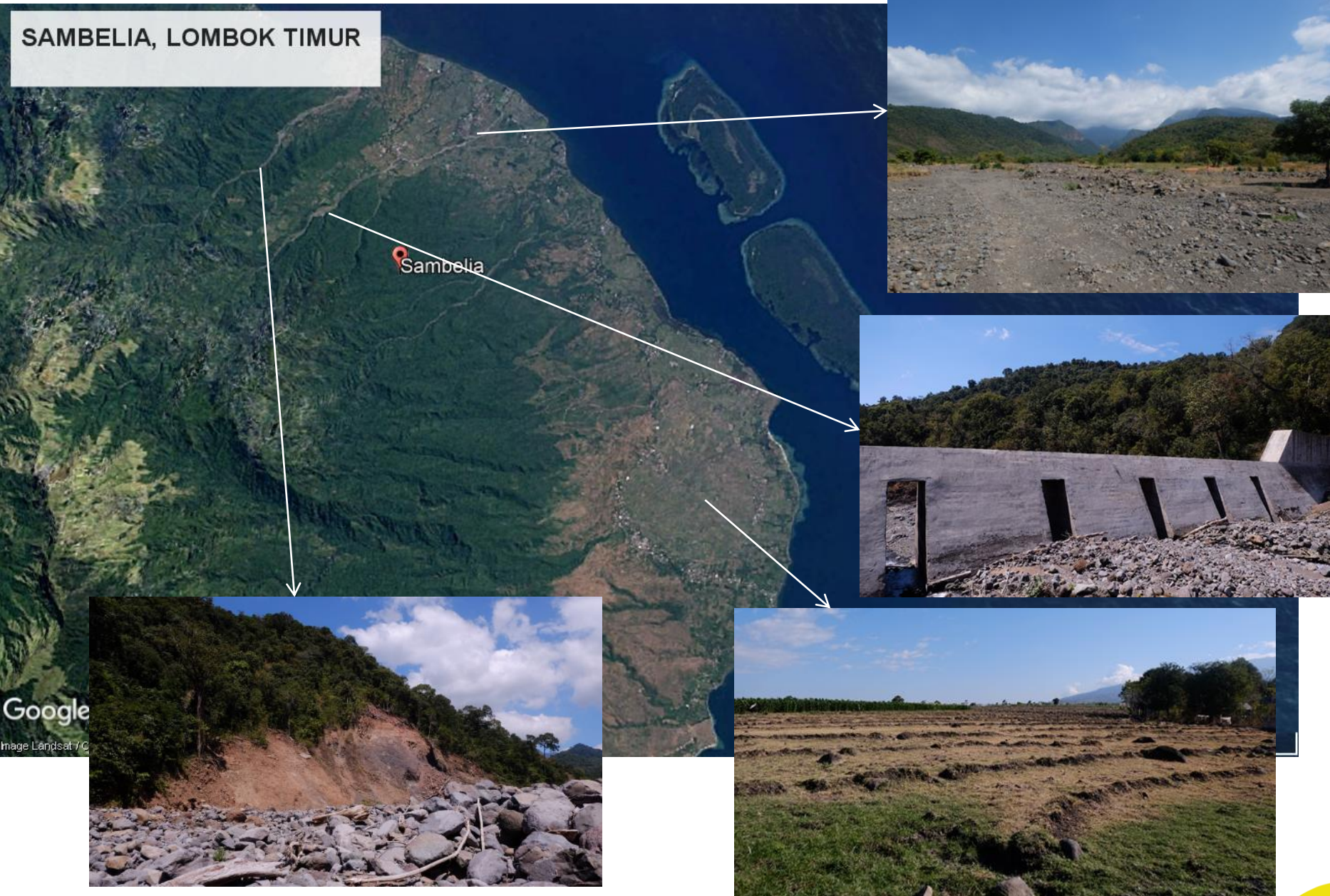
Badan Geologi



@kabargeologi



SAMBELIA, LOMBOK TIMUR



www.geologi.esdm.go.id



@kabargeologi



Badan Geologi

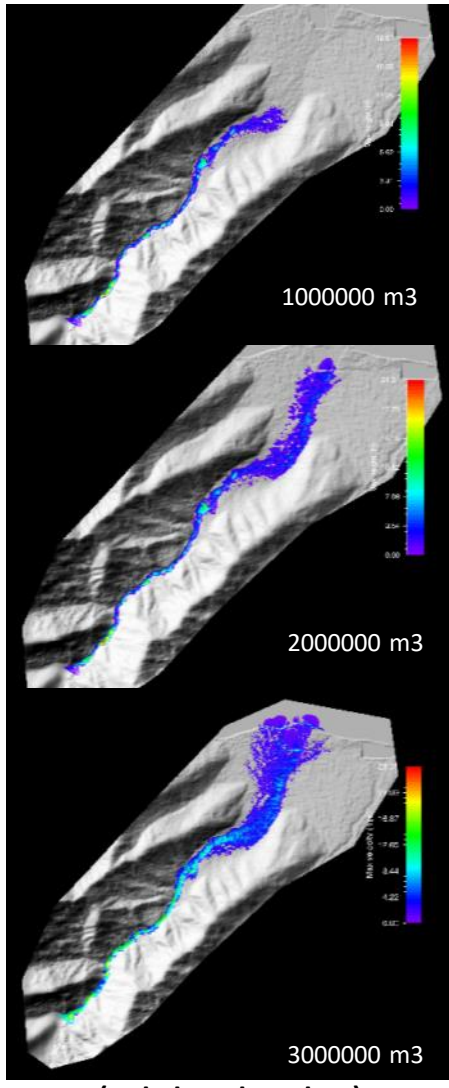


Badan Geologi

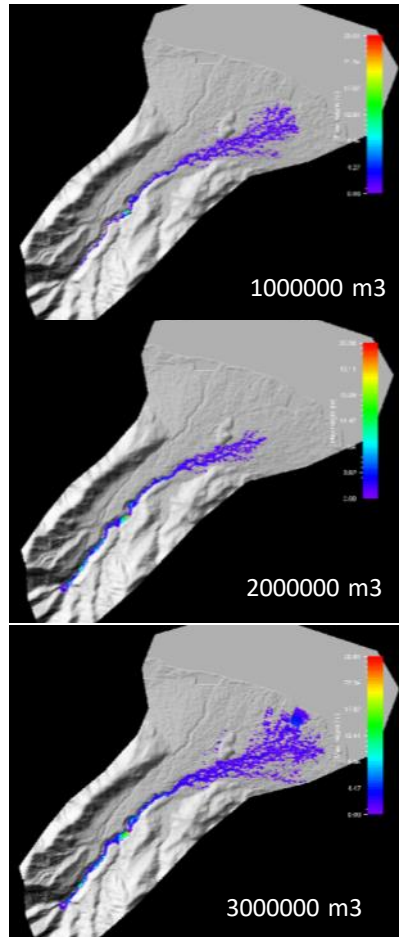


@kabargeologi

Hasil Pemodelan

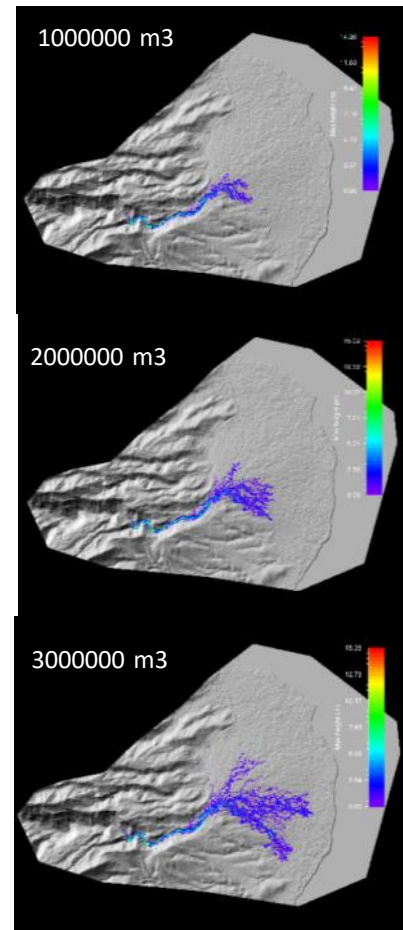


(Kokok Padamekan)



(Kokok Nangka)

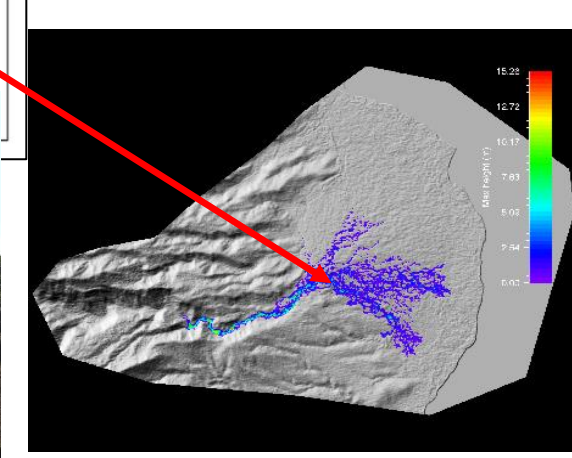
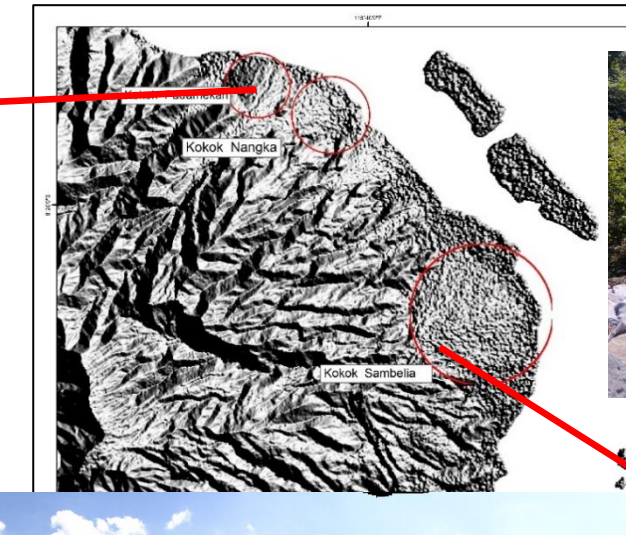
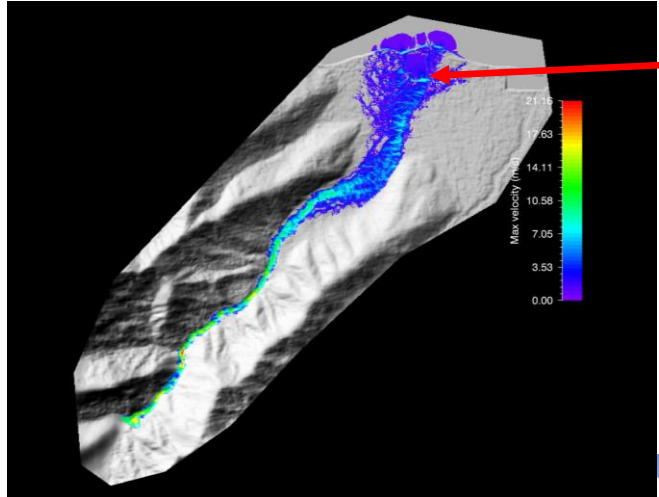
| | |
|------------|---|
| Volume | 1000000, 2000000, 3000000 (m ³) |
| μ | 0,01 |
| ξ | 700 m/s ² |
| c (Kohesi) | 0 |
| Debit | 2838 m ³ /detik (Hidayani, 2015) |



(Kokok Sambelia)

LOKASI YANG PUNYA POTENSI DEBRIS FLOW DI MODELKAN DENGAN RAMMS

RAMMS (Rapid Mass Movement Simulation) merupakan perangkat lunak untuk pemodelan numerik dinamik yang didesain awalnya untuk pemodelan longsor salju (*snow avalanches*) (Christen et al., 2010). Kemudian diaplikasikan untuk pemodelan aliran massa yang lain seperti lahar (Quan Luna, 2007) dan aliran debri (Kowalski, 2008). RAMMS menggunakan model kontinum aliran fluida Voellmy-Salm (Salm, 1993) berdasarkan hukum aliran fluida Voellmy.



Sedangkan untuk daerah yang mempunyai potensi aliran bahan rombakan atau daerah kipas aluvial akan dilakukan Pemodelan Aliran Bahan Rombakan dalam skala yang lebih detil.

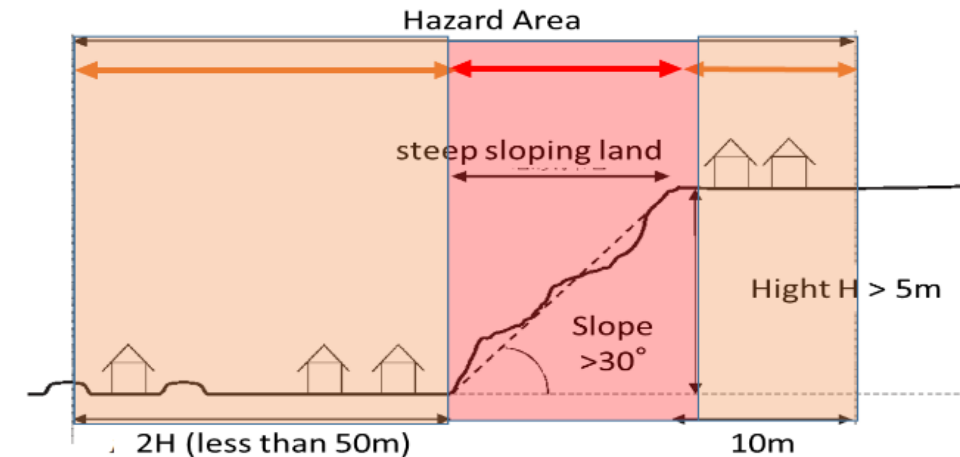
PEMETAAN DEBRIS FLOW



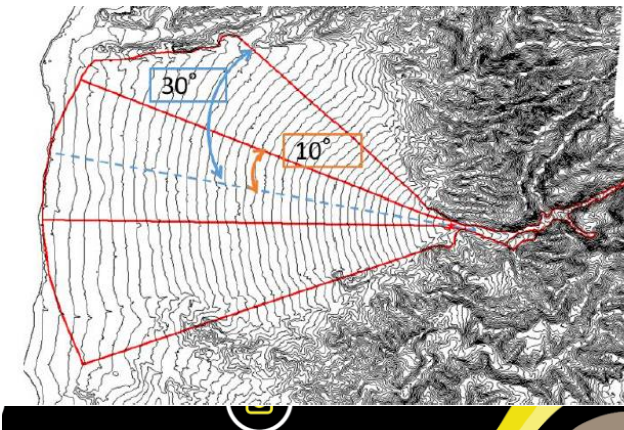
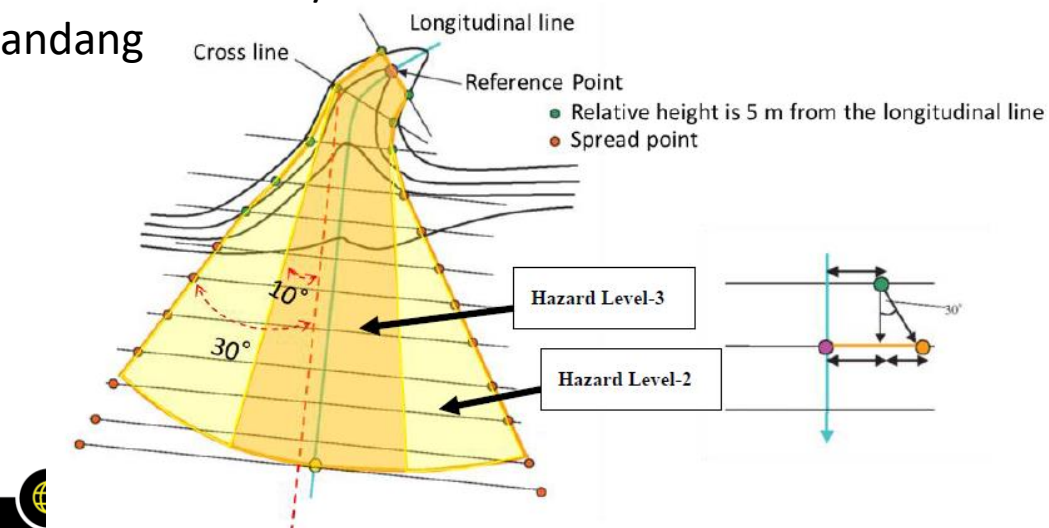
SARAN JUKNIS DARI JICA TERKAIT SEDIMENT DISASTER, 2019

STEEP SLOPE COLAPSE

| Hazard Level | Slope and Height of steep sloping land |
|--------------|--|
| 4 | Slope $\geq 30^\circ$ and Height $\geq 5m$ |
| 3 | Around Hazard Level 4 |
| 2 | $30^\circ > \text{Slope} \geq 9^\circ$ |
| 1 | $9^\circ > \text{Slope}$ |



Aliran Bahan Rombakan/ Banjir Bandang



KESIMPULAN

| Metode Statistik | Metode Deterministik |
|--|---|
| Dikembangkan dengan dari kejadian gerakan tanah dan dikaitkan dengan peta parameter pengontrol | Dikembangkan atas dasar Persamaan FS atau FK. Sehingga diperlukan peta-peta variable dalam persamaan FK atau FS |
| Lebih tepat untuk skala menengah, dibutuhkan kejadian gerakan tanah dan peta-peta pengontrol gerakan tanah | Lebih tepat untuk skala detil, area yang sempit dan data mekanika tanah yang lengkap |
| Banyak methode dalam pemetaan gerakan tanah statistic ini. Pembagian klas gerakan tanah menjadi hal yang krusial karena bisa menyebabkan overestimate atau underestimate | Persamaan keamanan lereng dapat dikembangkan menjadi berbagai berbagai macam persamaan persamaan yang biasanya biasanya atas dasar asumsi bentuk bidang gelincir. Ketidakhati2an dalam penyiapan peta parameter → hasil tidak akurat (Garbage in Garbage out) |

- Pengembangan metode pemetaan gerakan tanah dengan memanfaatkan database gerakan tanah akan mempercepat ketersediaan peta untuk skala menengah mengingat banyaknya area rawan gerakan tanah di Indonesia, namun demikian untuk Kawasan strategis pemetaan deterministic sangat diperlukan pada daerah tersebut dan pemodelan debris flow karena tipe Gerakan tanah yang sangat membahayakan terutama pada daerah yang berdekatan dengan sungai atau daerah kipas aluvial
- Perkembangan berbagai macam Software, Arc GIS, perangkat lunak akan mempermudah dalam pekerjaan geoscience, namun harus tidak melupakan basic konsep dari ilmu kebumian itu sendiri
- DEM menjadi faktor yang sangat penting dalam pemetaan gerakan tanah dan pemodelan aliran bahan rombak



TERIMAKASIH

Tidak bisa bekerja sendirian,
harus berkolaborasi



Badan Geo

Tradisi Mapalus
Minahasa, Sulawesi Utara

www

